ADÉLQUI ATTIZZANI, C. D.

SINDROME DE DOWN AVALIAÇÃO DO CRESCIMENTO CRÂNIO-FACIAL

Trabalho apresentado à Faculdado de Odontologia de Piracicaba, da Universidade Estadual de Campinas para Obtenção do grau de Mostro em Ciências (Ortodontia)

PIRACICABA - S. P. 1977

BIBLIOTECA CENTRAL

Aos meus pais, pelo exemplo e pelo empenho para minha formação, minha eterna gratidão.

A minha esposa pelo apoio e compreensão e ao meu filho, a mais carinhosa homenagem.

Aqueles que se dispuseram à obtenção do material radiográfico, nosso respeito e consideração.

AGRADECEMOS:

Ao Professor Doutor JOSÉ MERZEL, Diretor da Faculdade de Odontología de Piracicaba, e a seu Associado, Professor Doutor ANTO NIO CARLOS NEDER.

Ao Professor Doutor MANOEL CARLOS MULLER DE ARAUJO, Ti tular da Disciplina de Ortodontia e Coordenador do Curso de Pós-Gra duação em Ortodontia, da Faculdade de Odontologia de Piracicaba da Universidade Estadual de Campinas, pela segura orientação na realização deste trabalho e pela confiança em nos depositada.

A Professora Doutora SONIA VIEIRA, Livre Docente da Disciplina de Bioestatística desta Faculdade, pela irrestrita colabora ção no desenvolvimento da análise estatística.

Ao Professor Douter JOSÉ FERNANDO PEREIRA ARENA, pela collaboração oferécida à realização deste trabalho.

Aos Professores Doutores pertencentes ao CORPO DOCENTE e responsáveis pela nossa formação ortodôntica.

Ao CENTRO DE REABILITAÇÃO DE PIRACICABA, pelo apoio presteza.

A Coordenação de Aperfeiçoamento de Pessoal de Ensino Su perior (CAPES), do Ministério da Educação e Cultura, que nos possi bilitou a realização deste trabalho atravês de uma bolsa de estudos.

Aos Técnicos de Laboratório da Disciplina de Ortodontia desta Faculdade, pela ajuda no levantamento das telerradiografias e pelos constantes estímulos recebidos.

A Professora DAUSILEY DE O. M. SILVA, pela correção do vernáculo.

Aos Colegas do Curso de Pós-Graduação em Ortodontia, pela manifestação de amizade e compreensão e, em especial, ao Professor MINOL MYAHARA, pela paciente colaboração na tomada das telerradio grafias.

A todos aqueles que, direta ou indiretamente, possibilita ram a realização deste trabalho.

CONTEODO

		• ,	Υāgina
•	Capítulo	1	
Introdução			7
	Capítulo) 1	
Revisão Bibliográf	ica	*********	. 9
	Capitulo		
Proposição			24.
÷	Capitulo	1 V	
Material e Métodos	*******		. 26
	Capitulo	V	
Resultados	·		. 34
	Capítulo	VI .	
Discussão			. 46
	Capítulo	VII	•
Conclusões	* * * * * * * * * * *		. 61
	Capítulo	VIII	
Referências Biblio	grāficas		. 63
Resumo			. 70

r grays

<u>CAPITULO</u> 1

O conteúdo genético tem sido apontado por inúmeros autores, como sendo um dos fatores responsáveis pelo determinismo morfores, como sendo um dos fatores responsáveis pelo determinismo morfores, como sendo um dos seres vivos. Embora os mecanismos de controle de tal determinismo sejam múltiplos e as modificações dos processos biológicos naturais nem sempre ocorram, por ingerências com finalidades terapêuticas, o conhecimento de tais mecanismos se torna fundamental na aváliação das características físicas e na previsão de evolução das mesmas.

Este, parece ser um motivo bastante razoavel como ponto de partida, para o conhecimento do homem como uma entidade biológico ca dinâmica, que sob a ação de processos metabólicos sucessivos, evo lui segundo os critérios individuais e ambientais devido aos meca nismos de crescimento e desenvolvimento.

O esqueleto crânio -facial tem se constituído num objeto de estudo constante, pelas implicações decorrentes do crescimento e desenvolvimento, especialmente na área da Ortodontia. Trabalhos realizados relatam que indivíduos portadores da Síndrome de Down apresentam alterações cefalométricas consideráveis e isto se torna de particular interesse, uma vez que tal Síndrome está associada à uma alteração cromossômica. A Síndrome de Down foi descrita clinicamente, pela primeira vez, em 1866 por John Langdon Down e, desde en tão, tem sido investigada com múltiplos propósitos. Atualmente, sub sídios oferecidos por tais investigações se constituem em justifica veis argumentos para se comprovar as alterações causadas pela referida Síndrome.

Assim sendo, interessaram-nos particularmente es even tuais alterações cefalomátricas decorrentas da Sindrome de Dowa. CAPTTULO II

REVISÃO BIBLIOGRÁFICA

A aparência característica associada a Síndrome de Down tem sido motivo constante de investigação, desde que a Síndrome foi descrita pela primeira vez em 1866 por JOHN LANGDON DOWN 12.

Em seu trabalho BLEYER⁸, em 1934, concluíu que o mongo lismo ocorre com a fertilização ou, antes desta, no período de maturação do ovo ou do espermatozoide.

BENDA⁷, em 1941, estudando 20 casos de portadores da Sindrome de Down, observou o aspecto braquicefálico desses crânios, bem como a diminuição do tamanho da base dos mesmos, quando compara dos a outros de indivíduos normais. Para justificar tal evento, o autor mencionou a insuficiência de crescimento da sincondrose esferno-occipital e esfeno-etmoidal, a ausência ou a deficiência de de senvolvimento dos seios frontal e esfenoidal e o atraso no fechamen to das fontanelas. Salientou, também, que as anormalidades do desenvolvimento facial do crânio do mongolóide, aparentam afetar quase / todas estruturas, que apresentam crescimento após o nascimento, como: osso nasal, etmóide e maxila, com deficiência no crescimento, resultando uma persistente proporção fetal da face.

No trabalho feito por GOSMAN¹⁹, em 1951, foi observado / num grupo de 22 mongolóides que a altura total da face é considera velmente menor que em indivíduos normais, o mesmo ocorrendo para o comprimento do corpo da mandíbula.

Em 1954, MENGHI concluiu que na maioria dos casos do mon golismo, ocorre um retardamento da idade esquelética com respeito à idade real, mais evidente nos indivíduos do sexo masculino que no feminino.

Minerva Pediatrica, 25 (1): 1-5, Jan. 1973

^{*} Apud TONI, G. de - L'accrescimento somatico del mongoloidi.

SPITZER & ROBINSON⁴³, em 1955, estudando uma amostra constituída de 28 indivíduos mongolóides e 27 não mongolóides, que apresentavam deficiência mental, com idades variando de 7 a 29 anos, encontraram, através de métodos radiográficos, várias características, entre as quais, características morfológicas capazes de mostrar um quadro diverso entre as amostras estudadas.

No grupo de mongolóides, a maxila e mandibula se apresentavam subdesenvolvidas, com o ramo mandibular geralmente curto.

Em um número de casos nos indivíduos mongolóides, o atra so de crescimento facial e micrognatia maxilar era acentuado, quando comparado à calota craniana. Contudo, a idade óssea, julgada pela ossificação do pulso, era coerente com a idade cronológica.

Uma observação julgada de particular significância <u>pe</u>
los autores, era a ausência do seio frontal em 26 dos 28 casos ex<u>a</u>
minados que correspondia a 93% da amostra de indivíduos mongolóides.

LEJEUNE e colaboradores, em 1959, relataram que crian ças portadoras da Síndrome de Down possuíam 47 cromossomos, sendo que o cromossomo extra era um pequeno cromossomo acrocêntrico.Simul taneamente, em pelo menos quatro outros laboratórios usando diferen tes tecidos do corpo de indivíduos com Síndrome de Down, trabalhos confirmaram os achados pelos referidos pesquisadores. Estudos cito genéticos têm indicado que a Síndrome de Down pode morfologicamente apresentar um dos vários cariótipos cromossômicos:

- 1) Trissomia do cromossomo número 21
- 2) Translocação envolvendo o cromossomo número 21 e
- 3) Mosaicismo cromossômico envolvendo o cromossomo 21.

^{*} Apud FROSTAD, W.A. et alli - Craniofacial Complex in the trisomy

21 syndrome (Down's Syndrome). Archs oral Biol.,

16: 707-722, 1971.

Em 1961, SEWARD e colaboradores 41, estudando um grupo de .33 mongolóides, sendo 11 do sexo masculino com idade entre 2 e 5 anos, 11 adultos do sexo masculino e 11 adultos do sexo feminino , mencionaram que os mongolóides adultos de ambos os sexos, bem como/os meninos mongolóides apresentavam o comprimento e a altura da cabeça menores significantemente que indivíduos normais de idade similar e do mesmo sexo.

ROCHE e colaboradores 34, em 1961, verificaram que os valores médios correspondentes à largura máxima da cabeça para individuos mongoloides de sexo masculino com idade superior a 18 anos, são aproximadamente iguais aos de rapazes normais com 16 anos, enquanto que para mongoloides do sexo feminino, com idade superior a 18 anos, esses valores correspondem as médias dos valores das pessoas normais do mesmo sexo, com idade de 13 anos.

Com a finalidade de estudar anormalidades decorrentes Sindrome de Down, SPITZER e colaboradores 44, em 1961, tomaram 1377grupo de mongolóides de ambos os sexos, compreendidos na faixa etā ria de 8 a 49 anos e examinaram, radiograficamente, 29 desses indi víduos. Em todos os casos examinados, com exceção de dois, notou-se um estreitamento dos ossos do crânio, Com relação ao esqueleto cial, esses autores notaram hipoplasia do segmento mediano da face, envolvendo a maxila e os ossos nasals. Acentuaram que a hipoplasia maxilar e a reduzida altura do osso alveolar são traços acentuados das proporções fetais da arquitetura facial nesses casos. Dos 29 casos examinados, radiograficamente, 24 apresentaram seios frontais conspícuos. Ocorriam, também, uma diminuição do antro maxilar e po bre pneumatização dos seios esfenoidais e etmoidais. Em cerca 2/3 dos casos, os selos esfenoidais eram consideravelmenta reduzidos em tamanho e confinados à parte anterior do osso esfenóide.Notaram, também, que tanto a maxila como a mandíbula eram deficientes ântero

-posteriormente, lateralmente e em dimensão vertical. Relatam, ain da, que a língua estava frequentemente protuída, não por um aumen to absoluto no tamanho, mas como resultado de uma micrognatia com diminuição do assoalho da boca e prejuízo do espaço para acomodação da língua.

KUSHNICK²⁷, em 1961, enfatizou que os centros de ossificação são normais no nascimento, porém a idade ossea é usualmente / retardada em crianças mongoloides. Por outro lado, mencionou que a proporção de nascimentos entre mongoloides e normais é de 1:500 e que aumenta, consideravelmente, com o incremento da idade materna.

Estudando radiografias laterais da cabeça, tomadas com / auxílio de cefalostato, ROCHE e colaboradores³⁵, em 1961, verifica ram que as suturas eram mais abertas em mongolóides que em crianças normais.

Em 1963, RAPAPORT³² levantou a hipótese de que o figor agiria provocando a não disjunção cromossômica do cromossomo 21, provocando a trissomia característica da afecção em questão. A estabilidade cromossômica é mantida pelos ions metálicos como o cálcio ou magnésio, muito sensíveis à ação do fluor.

De acordo com POZSONYI e colaboradores 30, em 1964, o atraso da maturação esquelética está presente em crianças mongolói des até 8 anos de idade cronológica e, posteriormente, essa maturação assume padrões compatíveis. Os autores observaram que a maturação esquelética cessa por volta dos 15 anos da idade cronológica para os mongolóides, enquanto que, para indivíduos normais, essa expectativa é de 18 anos de idade cronológica.

GERALD & SILVERMAN¹⁸, em 1965, tomaram 112 radiografias de pacientes com diagnóstico clínico de mongolismo. Dessas radiografias 46 foram avalladas e concluiu-se que a distância interorbital no mongolismo é significantemente menor que em indivíduos normais.

Fazendo um estudo sobre estatura de mongolóides ROCHE³⁷, em 1965, concluiu que o aumento da estatura e o término do alonga

mento ósseo em mongolóides ocorríam em idade precoce em relação c indivíduos normais, embora nesses, a maturação esquelética fosse incompleta nesta época e continuasse posteriormente.

Estudando indivíduos portadores da Síndrome de Down, COHEN & WINER 10, em 1965, encontraram uma incidência de 44,7% de casos de Classe I, 3,2% eram portadores de Classe II e 31,77% portadores de Classe III. Mordida cruzada foi observada em 15,4% dos mongolóides e 4,8% apresentavam mordida aberta.

Os autores sugerem que a pequena taxa de Classe II, encontrada nesses indivíduos, pode ser devido à uma protrusão mandibular, en quanto que, a alta incidência de Classe III, pode ser devido à uma pseudo Classe III ou a um subdesenvolvimento da maxila com mordida cruzada anterior.

ENLOW 14, em 1966, fez estudos superpondo cefalogramas / com a finalidade de verificar crescimento. Enfatizou que a direção presente de crescimento, frequentemente, não corresponde ao movimento aparente de crescimento. Justifica que a maxila e mandíbula crescem predominantemente em direção posterior, mas são continuamen te impelidas em direção oposta, dando, em consequência, todo efeito anterior de crescimento. Segundo o autor, o aumento do arco maxilar é resultado da deposição óssea progressiva sobre as faces posterio res do corpo da maxila. Por outro lado, o côndilo mandibular cresce em direção cefaloposterior, através de um processo de ossificação / endocondral. Ao mesmo tempo, a borda posterior do ramo cresce para trás, em consequência da progressiva adição periostal de novo osso. Toda a face, entretanto, é indiferente aos movimentos de crescimen to localizado, tornando-se progressivamente reposicionada ou desio cada para frente, obscurecendo o padrão de crescimento atual.

Em 1967, SPITZER 5, examinando fotografías e radiografías de seis mongolóides, observou que tais pacientes apresentavam fa lhas no crescimento, forma e estrutura. Numa alta percentagem de ca sos radiografados, foram notados subdesenvolvimento dos seios fron tais, atraso na união das suturas, persistência da sutura metópica e pequena estrutura facial. Não foi verificada com frequência assimetria do crânio.

RUSSEL 40, em 1969, concluiu, em seu trabalho, que a Sindrome de Down está associada à uma anomalia cromossômica, retardamento mental, braquicefalia e outros defeitos somáticos. Afirmou, também, que indivíduos portadores de tal síndrome apresentam alta incidência de doença periodontal, mesmo em casos de pacientes jovens, enquanto que a incidência à cárie é baixa. Concluiu, ainda, que a maxila é subdesenvolvida, sendo frequente a presença de mordida / aberta, prognatia mandibular e mordida cruzada. O autor afirma que tais indivíduos apresentam microdontia, hipodontia e retardamento na erupção de ambas as dentições.

Estudando vários casos de mongolismo, PALATTELLA²⁹, em 1970, cita os seguintes fatores comumente responsáveis pelo mong<u>o</u>lismo:

- a) A senescência do aparelho reprodutor feminino, evidente temente, em relação à idade avançada da mãe.
- b) O estado mórbido materno (em particular o estado pato lógico do aparelho reprodutor feminino) durante os primeiros dois meses de gestação.
- c) A presença de precedente "abortí procurati", na anamne se materna.
- d) A consanguinidade dos genitores ou ascendentes próximos.

O referido autor analisando vários aspectos da amostra estudada, concluiu que todas as mães tinham idade superior a 40 anos.

Os indivíduos examinados apresentavam macroglossia e deglutição / atípica. Quanto aos aspectos de maioclusão foram encontrados:

- a) Dois casos com protrusão total inferior.
- b) Um caso com contração assimétrica da arcada superior.
- c) Um caso de normoclusão com mordida aberta.

Em 1970, estudando modelos de gesso de 50 indivíduos por tadores de trissomia G, COHEN e colaboradores 11, tomando como referência a classificação de ANGLE (1907), observou que 22% do grupo/estudado, apresentava Classe III. Enquanto que a incidência de Classe III foi da ordem de 32%.

O trabalho de FROSTAD e colaboradores 17 (1971) teve, como propósito, avariguar se um grupo de indivíduos com trissomia 21 possuía um fenótipo crânio-facial distinto. Bessa forma, os autores tomaram um grupo experimental (portadores de trissomia 21) e um grupo-controle (caucasóides), cujas idades e sexos foram balanceados / com os do grupo experimental.

A espessura do osso frontal, na região da glabela. se mostrou diminuída no grupo com trissomia 21. Onze indivíduos porta dores da anomalia apresentaram agenesia do osso nasal, sem diferença entre os sexos. Nos indivíduos que apresentavam o osso nasal, o comprimento relativo ao mesmo se mostrou significantemente menor no grupo experimental, sendo que, para os indivíduos do sexo feminino nos dois grupos, as medidas foram significantemente menores.

A convexidade do teto da órbita se mostrou aumentada no grupo de portadores da trissomía 21.

Subjetivamente, os ossos do crânio eram finos e o tecido díploe frequentemente ausente no grupo com trissomia 21.

Em 1971, BAER e colaboradores ⁵ fizeram estudos comparat<u>i</u>, vos com hamsters inoculados intracerebralmente com três tipos de vírus e verificaram que os mesmos apresentavam proporções craniof<u>a</u> ciais infantis até a idade adulta, quando comparados a outros an<u>i</u> mais, da mesma espécie, não inoculados. O mesmo trabalho constou de telerradiografias tomadas de seis crianças portadoras da Sindrome de Down, com idade variando de 6 a 13 anos, que foram comparadas / com crianças normais pertencentes â mesma faixa etária. Como concl<u>u</u> são, afirmaram que as crianças portadoras da Sindrome de Down e os hamsters inoculados apresentaram a ârea facial afetada quando comparados aos seus respectivos grupos-controles.

KANAR²⁵, em 1971, estudando a morfologia da mandíbula na Síndrome de Down, tomou 80 telerradiografias de mongolóides trissómicos do sexo masculino, que foram divididos em três grupos de acordo com a faixa etária; o mesmo material foi tomado de um grupo-com trole com igual número de indivíduos tomados aleatoriamente, tendose o cuidado de não incluir nenhum indivíduo portador de Classe II, Classe III ou que tivesse sofrido tratamento ortodôntico.

Baseado nos resultados encontrados em sua pesquisa, o autor concluiu que:

- E possível identificar o contorno da mandíbula que está diretamente associado à trissomia 21 - Síndrome de Down.
- 2) O contorno labial e lingual das sínfises mandibula res foram diferentes, significativamente, entre o grupo normal e o grupo com Síndrome de Down, nos três grupos.
- 3) O corpo e o ramo da mandíbula não se mostraram diferentes, significativamente, entre a amostra normal e a amostra portadora da Síndrome de Down.
- 4) Este estudo suportaria a hipótese, da independência genetica entre o potencial de crescimento da maxila e da mandíbula.

5) A forma da mandíbula na Síndrome de Down exibiu considerável redução na variança comparada aos normais entre as idades estudadas.

O autor enfatiza que os resultados de tais estudos podem ser de consideravel valor não somente para entendermos os efeitos / acarretados por aberrações cromossômicas, mas para determinação genetica das estruturas que normalmente crescem.

Fazendo um estudo cefalométrico em pacientes portadores de trissomia 21, ROCHE e colaboradores 38, em 1972, encontraram va lores menores para esses indivíduos em comparação a indivíduos nor mais, quando tomaram as dimensões lineares correspondentes a Násio-Básio, Sela-Básio. Da mesma maneira, os autores verificaram que o tamanho da cabeça e o diâmetro endocranial tendem a aumentar com a idade, mas, em todas as idades, os referidos valores foram menores para as crianças que apresentavam trissomia 21, quando comparadas às crianças normais. As médias dos comprimentos da base crania na, particularmente Násio-Sela, estavam acentuadamente abaixo dos valores normais em todas as idades, porêm o valor médio do ângulo Násio-Sela-Básio é marcadamente maior para o grupo com trissomia 21.

No mesmo ano, HALL ϵ RINGERTZ avaliaram comparativamente radiografias da mão, tomadas de mongolóides e de indivíduos nomais.

Esse estudo tinha por objetivo avaliar o comprimento das falanges proximais e dos ossos metacarpais nos dois grupos de indivíduos, respeitadas as respectivas faixas etárias. Os desvios foram / encontrados com maior frequência em mongolóides recém-nascidos em relação aos normais, mas não havia diferença qualitativa entre os grupos.

ARDRAN e colaboradores 4, em 1972, examinaram oito pacie<u>n</u> tes portadores da Síndrome de Down, clínica e radiograficamente. <u>Pe</u> la metodologia empregada, que além dos métodos anteriormente descritos, compreendia o exame cinerradiográfico do paciente ingerindo / uma suspensão de bário, foi possível a constatação de algumas carace terísticas descritas pelos autores. Em nenhuma dessas crianças a língua estava aumentada, mas, em cinco delas, a língua apresentava aumentos localizados na região da tonsila lingual, resultando um estreitamento da faringe inferior e da abertura superior da laringe. Todas as crianças apresentavam as adenóides e as tonsilas faringea nas aumentadas.

Três desses pacientes apresentavam "overjet" inferior.0s referidos pesquisadores sugeriram que a protrusão da lingua, verificada em muitos desses pacientes, é necessária para prover uma passa gem aérea que remova obstruções, tais como, as adenõides, tonsilas faringeanas e tonsilas linguais, até um período adequado (talvez / cinco anos de idade). Isso auxiliaria muitos deles a fecharem suas bocas e, talvez, influenciaria favoravelmente o desenvolvimento man dibular.

FRIEDMAN¹⁶, em 1973, observando várias manifestações radiológicas do mongolismo, enfatizou que, como resultado da hipoplasia maxilar, o teto da boca ou palato duro é estreito e menor que o normal. O autor relata, ainda, o aspecto braquicefálico encontrado em crianças mongolóides e o retarde no fechamento das fontanelas, quando comparadas com crianças normais.

No trabalho desenvolvido por JENSEN e colaboradores 24, , também em 1973, foram investigados muitos parâmetros numa amostra de indivíduos portadores da trissomia 21 e comparados com os mesmos parâmetros de indivíduos normais, cujas distribuições de idade e se xo eram similares.

Entre outros resultados obtidos por tais pesquisadores , mencionou-se que a maioria das medidas lineares, obtidas na análise

de modelos, era significantemente maior no grupo-controle em ambos .os sexos e em todas as idades. Encontraram, também, uma alta inci dência de Classe III, no grupo com trissomia 21, sendo 61% a taxa para os indivíduos do sexo masculino e 57% para os do sexo femini no. Constataram que a incidência de mordida aberta anterior no gru po experimental era da ordem de 62% para o sexo masculino e 48% рa ra o sexo feminino, sendo que alguma forma de mordida cruzada foi observada em aproximadamente 90% da amostra experimental, na qual ambos os sexos eram afetados iqualmente.

GULLIKSON²⁰, em 1973, estudando uma amostra de crianças portadoras da Síndrome de Down, formulou a necessidade de se fazer estudos no sentido de determinar se as maloclusões verificadas nes ses indivíduos são determinadas por uma maxila pequena ou mandíbula protrusa.

mo número 21 ocorre com frequência de 1:300 a 1:600 nascimentos. O autor cita, como sinal clínico mais importante da Sindrome de Down, o baixo quociente intelectual que varia entre Q.I. = 15 a Q.I.=50; continuando, menciona a acentuada braquicefalia, fendas palpebrais obliquas, pregas epicânticas, nariz pequeno e achatado, em consequência da hipoplasia do osso nasal, língua protrusa, maxila hipoplasica.

No exame dos membros, encontramos dedos curtos e grossos, com hipoplasia ou aplasia da falange média do dedo mínimo. No exame das pregas de flexão digitais e palmares, são comuns os encontros / de uma única dobra de flexão inter-falangeal no dedo mínimo e de uma única prega palmar transversal. Como sinais clínicos, o autor acha relevante mencionar aínda a baixa estatura e a frouxidão dos ligamentos.

No trabalho publicado por TANNENBAUM⁴⁷, em 1975, encontr<u>a</u> mos cinco conclusões acerca dos aspectos orais do mongolismo:

- 1 A erupção de dentes em mongolóides é retardada em com paração com a população normal.
- 2 Os dentes de mongolòides são menores que os observa dos na população normal.
- 3 As maxilas de mongolóides são menores que na popula ção normal, que resulta numa alta prevalência de ma loclusão Classe III.
- 4. A incidência e a severidade de doenças periodontais em mongoloides são muito maiores que na população / normal.
- 5 Estudos adicionais são necessários para determinar / completamente os aspectos orais do mongolismo,

Em 1975, MICHEJDA & MENOLASCINO 28, explicaram a Síndrome de Down como sendo uma doença multifatorial, onde os fatores genéticos, metabólicos e de desenvolvimento inter-atuam. Afirmaram, em se guida, que, em muitas doenças congênitas, incluindo a Síndrome de Down, a sequência patogênica de vários fatores etiológicos, suas causas e efeitos são pobremente entendidos. Então, a solução do problema deve ser aberta para que seja colocado nas muitas áreas de pesquisa.

HARRIS²², em 1975, afirma que, na última década, o conceito de herança poligênica tornou-se geralmente aceitável, permitin do o estudo da variação dental e crânio-facial. Segundo o autor, o modelo poligênico tem sido amplamente investigado, quando se estuda uma grande ordem de variáveis mensuráveis, representando a morfolo gia crânio-facial nas pesquisas desenvolvidas pelo Departamento de Ortodontia da Universidade de Michigan.

Baseado na mensuração de 18 variáveis crânio-faciais, c<u>i</u>
ta que, para essas medidas, a média dos coeficientes de correlação
era de 0,5 para irmãs portadoras de Classe II, divisão 1. A obser
vação mais importante derivada dessa correlação é o fato de que a

oclusão dental é dependente do esqueleto crânio-facial.

No mesmo ano, FINK e colaboradores 15, estudaram a área endocranial, área da face média e área mandibular de indivíduos por tadores da Síndrome de Down, comparando-as com suas similares encontradas num grupo de crianças normais, com média de idade similar ao grupo portador da Síndrome. Encontraram os seguintes resultados:

<u>Area endocranial</u>: A ârea sagital do endocrânio em indiv<u>í</u> duos portadores da Sindrome de Down era significantemente manor / que no grupo normal, em todas as idades. A diferença era aproxima damente a mesma em todas as idades.

Area da face média: Era significantemente menor nos individuos portadores da Síndrome de Down, quando comparados com o grupo normal, em todas as idades. A diferença entre os grupos aumentava com a idade.

Area mandibular: A area mandibular no grupo de indivíduos portadores da Síndrome de Down era significantemente menor que no grupo-controle, em todas as idades.

Concluíram que havia uma deficiência significante no grupo de mongoloides, quando comparado com o grupo-controle para as seguintes relações:

- a) Area da face média/área endocranial.
- b) Area mandibular/área endocranial.
- c) Area da face média/área mandibular.

O endocrânio e mandíbula do mongolóide, embora sejam de ficientes em área, crescem com uma taxa similar ao do grupo-controle. Enquanto que a face média de mongolóides é pouco mais deficiente que a mandíbula.

Em 1976, PRATES³¹, fazendo um estudo em indivíduos bras<u>i</u>
leiros de ambos os sexos, compreendidos numa faixa etária de 11 a
15 anos, concluiu que todas as medidas cefalométricas evidenciaram
crescimento significante no período citado para o sexo masculino .

Entretanto, das sete medidas cefalométricas lineares estudadas, apenas a altura do ramo da mandíbula e a altura total da face apresentaram crescimento significante no mesmo período para o sexo feminino.

SMITH⁴², em 1976, cita anormalidades decorrentes da Si<u>n</u> drome de Down entre as quais se encontram:

Anormalidades Gerais:

Hipotonia com tendência a permanecer com a boca aberta e protrair a língua; hiperflexibilidade articular; estatura relativamente pequena.

Anormalidade do Sistema Nervoso Central:

Deficiência mental.

Anormalidades Crânio-Faciais:

Braquicefalia ; fechamento tardio das fontanelas; nariz pequeno.

Anormalidade na Dentição:

Hipoplasia

Anormalidades das Mãos:

Metacarpo e falanges relativamente curtos, hipoplasia da falange média do quinto dedo.

Outras Anormalidades:

Aparência curta do pescoço; cabelo fino, macio e frequentemente disperso.

CAPITULO III

3. PROPOSIÇÃO

Após o estudo e avaliação da literatura ao nosso alcance referentes a Síndrome de Down e aos métodos de estudo, através da cefalometria radiográfica, propomo-nos a desenvolver um estudo comparativo entre dois grupos de indivíduos: um, constituído por indivíduos portadores da Síndrome de Down e outro, constituído por indivíduos que podem ser considerados normais clinicamente quanto aos aspectos físicos e psíquicos, a fim de:

- 1 Evidenciar as características de 11 medidas cefalom<u>e</u> tricas para ambos os grupos e ambos os sexos.
- 2 Comparar as taxas de crescimento evidenciadas esta tisticamente entre os grupos e os sexos.

CAPITULO IV

.

1 - MATERIAL

Foram utilizadas 27 telerradiografias, obtidas em norma lateral de indivíduos brasileiros de ambos os sexos e não submetidos a tratamento ortodôntico.

Os indivíduos componentes dessa amostra estavam separados em dois grupos:

- a) Grupo-teste, constituído por 13 indivíduos institucionalizados, sendo 7 do sexo masculino e 6 do sexo feminino, na faixa etária de 92 a 188 meses completos; todos portadores da Sindrome de Down.
- b) Grupo-controle, constituído por 14 indivíduos, sendo 7 do se xo masculino e 7 do sexo feminino, na faixa etária de 92 a 180 meses completos e em condições físicas e psíquicas consideradas normais / clinicamente.

. A distribuição dà amostra se encontra nos quadros I e II.

QUADRO 1

DISTRIBUIÇÃO DOS INDIVÍDUOS DO GRUPO-TESTE SEGUNDO A SEQUÊNCIA

CRONOLÓGICA CRESCENTE

IDADE (em meses)	SEXO				
97	masculino				
92	feminino				
120	feminino				
121	masculino				
124	masculino				
124	feminino				
129	femínino				
143	masculino				
153	feminino				
155	masculino				
, 166	feminino				
178	masculino				
188	masculino				

<u>QUADRO</u> I

DISTRIBUIÇÃO DOS INDIVÍDUOS DO GRUPO-CONTROLE SEGUNDO A SEQUÊNCIA CRONOLÓGICA CRESCENTE

IDADE (em meses)	SEXO					
92	masculino					
95	feminino					
101	feminino					
120	masculino					
120	feminino					
124	feminino					
129	masculino					
. 131	feminino					
144	masculino					
152	masculino					
153	feminino					
168	masculino					
169	feminino					
180	masculino					

2 - METODOS

- 2.1 Seleção das amostras
- a) Grupo-Teste: Os indivíduos desse grupo foram selecionados entre 20 mongolóides que frequentam o Centro de Reabilitação de Piracicaba e diagnosticados clinicamente como portadores da Síndrome de Down*pelo Corpo Clínico da referida Instituição e por nós confirmado através de sinais e sintomas clínicos que caracterizam tal Síndrome descrita por DOWN 12.

^{*} Por fatores alheios ao programa de pesquisa, não foi possível elaborar a análise citogenética da amostra estudada.

Procurou-se cobrir a faixa etária em que o crescimento crânio-facial é de acentuado interesse, especialmente no campo da Ortodontia.

O grupo-teste ficou reduzido a 13 indivíduos que permitiram a tomada de radiografias cefalométricas de acordo com a técnica preconizada por BROADBENT⁹ (1931), com os dentes em oclusão cêntrica.

b) Grupo-controle: Foram selecionados 14 indivíduos , cujas idades cobriam um período aproximado ao do grupo-teste, obede cendo-se aos critérios de normalidade clínica com relação aos aspectos físicos e psíquicos. A técnica de obtenção das radiografias, em norma lateral, obedeceu aos mesmos princípios observados para o grupo-teste.

O grupo-controle constou de indivíduos, cujo ângulo ANB variava de 0° a 4°, pois tais indivíduos estariam numa faixa corres pondente ao padrão esquelético de Classe I segundo ARAUJO² (1964), ARAUJO³ (1967) e RODRIGUES³⁹ (1975).

2.2 - Cefalograma

Sobre cada radiografia constante do material descrito, adaptou-se com fita adesiva, uma folha de papel "Ultraphan", de 18 por 24 cen tímetros sobre a qual foi traçado o cefalograma descrito em 2.5 des se capítulo. As grandezas cefalométricas angulares foram obtidas / por meio de um transferidor com aproximação de 0,5° e as lineares, através de uma régua milimetrada com aproximação de 0,5mm.

2.3 - Método Estatístico

Os dados foram submetidos à Análise de Regressão com Variáveis Bi nárias. (dummy variables).

- 2.4 Glossārio dos pontos, linhas e planos cefalomētricos utilizados, descritos por KROGMAN & SASSOUNI²⁶, no 1º Workshop in Roentgenographic Cephalemetry.
- 2.4.1 Pontos cefalométricos localizados no plano sagital me diano:

- 1 Ponto S (sela túrcica) corresponde ao ponto local<u>i</u> zado no centro da sela túrcica.
- 2 Ponto N (nasio) corresponde \bar{a} parte mais anterior da sutura fronto-nasal.
- 3 Ponto A de DOWNS 13 , localizado na parte mais profunda da concavidade sub-espinhal, na pré-maxila entre a espinha nasal an terior e o prostio.
 - 4 Ponto B de DOWNS¹³, localizado na parte mais profunda da concavidade supra-mentoníana, entre os pontos infra-dentário e pogônio.
 - 5 Ponto Pg (pogonio) corresponde ao ponto mais anterior do mento osseo.
 - 6 Ponto Gn (gnatio) Localizado no contorno externo da sinfise mentoniana, sendo determinado pela intersecção da bissetriz do ângulo, formado pela linha N-Pg com o plano mandibular.
 - 7 Ponto Me (mentoniano) situado no limite mais inferior da curva da sínfise mentoniana, no ponto de encontro entre as linhas externas das imagens das corticais vestibular e lingual.
 - 2.4.2 Pontos cefalométricos bilaterais:
 - 1 Ponto Po (pório) localizado no ponto médio da borda su perior do conduto auditivo externo, correspondendo nas telerradio grafias, ao ponto médio superior do contorno da imagem das olivas / metálicas do cefalostato.
 - 2 Ponto Or (orbitário) localizado na parte mais inferior da borda orbital.
 - 3 Ptm (fissura ptérigo-maxilar) não se trata propriamente de um ponto, mas sim da imagem radio-lúcida dessa fossa, cujo contorno anterior representa a tuberosidade do maxilar e o contorno posterior, a imagem anterior do processo pterigóide de esfenóide.
 - 4 Ponto Cd (condiliano) localizado no ponto mais alto do contorno superior do condilo da mandíbula.

5 - Ponto Go - (gônico) - situado no contorno do ângulo go níaco, determinado pela bissetriz do ângulo formado pelo plano posterior do ramo ascendente da mandíbula com o plano mandibular.

2.4.3 - Linhas Cefalométricas:

- 1 Linha S-N (sela túrcica-násio) determinada pela união dos pontos S e N.
- 2 Linha N-A (násio-ponto A) determinada pela união dos pontos N e A.
- 3 Linha N-Pg (nasio-pogônio) determinada pela união dos pontos N e Pg.
- 4 Linha N-Me (násio-mentoniano) determinada pela união dos pontos N e Me.
- 5 Linha N-B (násio-ponto B) determinada pela união dos pontos N e B.
- 6 Linha S-Gn (sela túrcica-gnátio) determinada pela união dos pontos S e Gn.

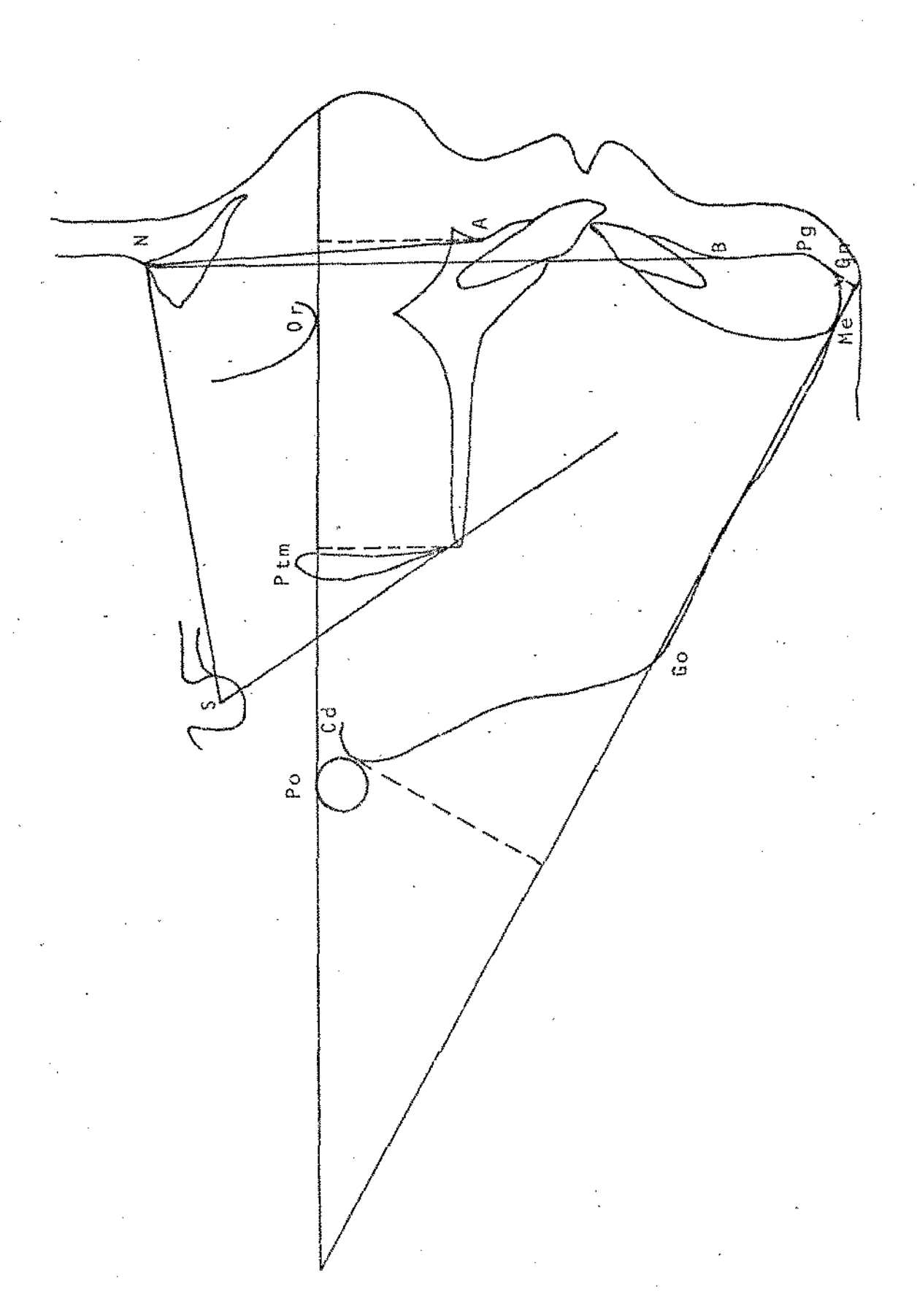
2.4.4 - Planos cefalométricos:

- 1 Plano horizontal de Frankfort \tilde{e} o plano que vai do p \tilde{e} rio cefalométrico (Po) ao ponto orbitário (Or).
- 2 Plano mandibular Obtido pelo prolongamento da união dos pontos Go e Me.
- 3 Plano do ramo da mandíbula é o plano tangente à borda posterior do ramo da mandíbula.
 - 2.5 Descrição do traçado cefalométrico utilizado:
- 1 <u>Angulo SNA</u>, de RIEDEL³³, formado pela intersecção das linhas SN e NA, determinando o grau de protrusão ou retrusão da maxila.
- 2 <u>Angulo SNB</u>, de RIEDEL³³, formado pela intersecção das linhas SN e NB, determinando o grau de protrusão ou retrusão da mand<u>i</u> bula.
- 3 <u>Anguló ANB</u>, de RIEDEL³³, é o ângulo formado pela intersecção das linhas NA e NB e representa a diferença entre os dois ângulos anteriormente citados, isto é, a relação que guardam entre si a maxila e a mandíbula.

- $4 \underline{\text{Angulo FMA}}$, de TWEED⁴⁹, formado pela intersecção do pla no mandibular com o plano horizontal de Frankfort. Neste caso, não è propriamente o FMA de TWEED⁴⁹, pois o plano mandibular utilizado, preconizado na análise de STEINER⁴⁶ è resultante da união dos pontos Go e Me.
- 5 <u>Angulo Y de crescimento</u>, de DOWNS¹³, é o ângulo infero-interno determinado pela intersecção da linha S-Gn com o plano ho
 rizontal de Frankfort. Determina a direção de crescimento no sentido ântero-posterior e vertical.
- 6 Comprimento da maxila, de WYLIE⁵⁰, é a medida linear / correspondente à distância entre a projeção ortogonal do ponto ENA (espinha nasal anterior) ao plano de Frankfort, e à projeção do centro da imagem radio-lúcida da fossa ptérigo-maxilar ao plano de Frankfort. Porém, aceitando as críticas formuladas por HOFFER²³, referentes à dificuldade de se determinar a ponta da espinha nasal anterior, numa telerradiografia da cabeça, em norma lateral, adotamos a sugestão proposta por ARAUJO³, projetando ortogonalmente o ponto A, de DOWNS¹³, ao plano de Frankfort.
- 7 Comprimento da mandíbula, de WYLIE⁵⁰, corresponde ao comprimento total da mandíbula e é obtido pela projeção ortogonal do pogônio e da parte mais posterior do côndilo da mandíbula ao pla no mandibular, formado pela união dos pontos Go e Me.
- 8 Altura total da face (N-Me), de WYLIE & JOHNSON⁵¹, é a medida linear que corresponde à distância entre os pontos N e Me.
- 9 Altura do ramo da mandíbula (Go-Cd), de WYLIE &

 JOHNSON⁵¹, é a medida linear obtida pela distância do ponto Go ao
 ponto Cd.
- 10 <u>Comprimento do corpo da mandíbula</u> (Go-Gn), é a medida linear correspondente à distância entre os pontos Go e Gn.
- 11 <u>Distância S-N</u>, ê a medida linear que corresponde ao com primento da base anterior do crânio e obtida pela união dos pontos S e N.





CAPITULO V

•

.

RESULTADOS

As medidas cefalométricas, obtidas para os dois sexos, para indivíduos normais e mongolóldes, nas diferentes idades estudades em meses completos, constam nas tabelas I, II, III e IV.

Para cada medida, aplicamos uma análise de regressão com variáveis binárias. Tomou-se a medida como variável dependente, en quanto que a idade (X_1) , sexo (X_2) e indicador de normalidade ou mon golismo (X_3) foram tomados como variáveis independentes. É importante frisar que essas duas últimas variáveis são binárias, assumindo valores mutuamente exclusivos, isto é, zero e 1. Com relação ao sexo, a variável X_2 assume valor zero, quando consideramos o sexo masculino e valor 1 quando consideramos o sexo feminino; no caso de norma lidade a variável X_3 assume valor zero, e para o indivíduo mongológi de X_3 assume valor igual a 1.

A partir do exposto, colocamos a seguir o modelo estatís tico empregado:

$$Y = b_0 + b_1 X_1 + b_2 X_2 + b_3 X_3 + b_4 X_1 X_2 + b_5 X_1 X_3 + e_5 X_1 X_3 + e_5 X_1 X_2 + e_5 X_1 X_3 + e_$$

Nesse modelo b_0 , b_2 e b_3 são coeficientes lineares, isto é, indicam posição e b_1 , b_4 e b_5 são coeficientes angulares, isto é, indicam inclinação da curva de regressão, enquanto e indica os desvios.

É importante notar que b_0 e b_1 fornecem a reta para indivíduos do sexo masculino normais. Os coeficientes b_2 e b_3 , somados a b_0 , dão a mudança de posição quando se consideram indivíduos do sexo feminino e/ou mongolóides respectivamente. Os coeficientes b_4 e b_5 dão a mudança de inclinação quando se consideram indivíduos do sexo feminino e/ou mongolóides, respectivamente.

TABELA I - DISTRIBUIÇÃO DE 11 VARIÁVEIS CEFALOMÉTRICAS PELA SEQUÊNCIA CRONOLÓGICA CRESCENTE EM PACIENTES DO SEXO MASCULINO NORMAIS.

NUMERO	IDADE (em meses)	5 N A	2 SNB	3 ANB	FMA	5 L.Y.	6 Comp. Max. (mm)	Comp. Mand. (mm)	8 N-Me (mm)	9 Go~Cd (mm)	10 Go-Gn (mm)	11 S-N (mm)
14	92	84,0	81,0	3,0	28,0	59,0	45,5	96,0	99,0	48,0	64,0	60,5
7	120	82,0	79,0	3,0	30,0	56,5	51,0	99,0	103,5	43,0	68,0	71,0
13	129	80,0	80,0	0,0	26,0	53,5	46,0	100,0	103,0	49,0	66,5	70,0
5	144	77.0	75,0	2,0	24,5	59,0	46,0	102,0	108,5	51,0	69,0	70,5
12	152	83,0	80,0	3,0	28,0	56,5	52,0	114,0	123,0	56,5	73,0	76,0
9.	168	82,0	79,5	2,5	35,0	66,0	50,0	115,0	130,0	53,0	84,0	71,5
2	180	78,5	76,0	2,5	37,0	68,5	49,5	111,5	128,0	50,0	81,0	73,0

TABELA II - DISTRIBUIÇÃO DE 11 VARIAVEIS CEFALOMETRICAS PELA SEQUENCIA CRONOLÓGICA CRESCENTE EM PACIENTES DO SEXO FEMININO NORMAIS.

NÚMERO	IDADE (em meses)	1 .	2	3	17	5	6	7	8	9	10	11
	SNA		ANB	FMA	L.Y.	.Y. Comp. Comp. N-Me Max. Mand.	N-Me	Go-Cd	Go-Gn	5-N		
					en eri		(mm)	(mm)	(mm)	(mm)	(mm)	(mm)
4	. 95	82	 79	3	25	55	44	98	102	48	68	62
6	101	73,5	69,5	4	34	63,5	42,5	94	111	49,5	60,5	67
10	120	82	79	3	3 ⁴ 4	59	43,5	98	105	44	68,5	63
8	124	79	76	3	29	57	45,5	96	104	48	65,5	6 4
11 .	131	80 .	. 76	· 4	2 4	58,5	50	99	102	49	73	71
. 9	153	81,5	80	1,5	23,5	5 4	49,5	103,5	105	48	76	73
3	169	85	83	2	22,5	59	50	107,5	108	55	74,5	67,5

TABELA III - DISTRIBUIÇÃO DE 11 VARIÁVEIS CEFALOMÉTRICAS PELA SEQUÊNCIA CRONOLÓGICA CRESCENTE EM PACIENTES
DO SEXO MASCULINO PORTADORES DA SÍNDROME DE DOWN.

NÚMERO .	IBADE (em meses)	eponer	2	- 3	4	5	6	7	. 8	, 9	10	11
	TO THE	SNA	SNB	ANB	FMA	L.Y.	Comp. Max. (mm)	Comp. Mand. (mm)	N-Me (mm)	Go,−Cd (mm)	Go-Gn (mm)	S-N (mm)
14	92	71	77	6	14,5	44,5	38 ·	92	94,5	44	65	62,5
7	121	85	81 .	4	24	56	42,5	94	102,5	49,5	63,5	61,5
1 3	124	78,5	82,5	- 4	27,5	54,5	40	107,5	106,5	51	74	61,5
5	143	80,5	8 1	-0,5	33	58,5	42	98	102,5	42	68	65,5
12	155	83,5	84	-0,5	28	57	45.	107	109	50	75	60,5
1	1 78	·80	77	3	31	60	51	115	117	58,5	76,5	69,5
2	188	73,5	74	-0,5	33,5	66	40	104,5	116	54	74	66

TABELA IV - DISTRIBUIÇÃO DE 11 VARIÁVEIS CEFALOMÉTRICAS PELA SEQUÊNCIA CRONOLÓGICA CRESCENTE EM PACIENTES
DO SEXO FEMININO PORTADORES DA SÍNDROME DE DOWN.

NOMERO	IDADE (em meses)	1 SNA	2 SNB	3 ANB	4 FMA	5 L.Y.	6 Comp. Max. (mm)	Comp. Mand. (mm)	8 N-Me (mm)	9 Go-Cd (mm)	10 Go-Gn (mm)	11 5-N (mm)
6	101	83	80	3	11.	49	42	94	94,5	45,5	65,5	. 58
10	120	82	79,5	2,5	30,5	59	39,5	88	97,5	41,5	64,5	59,5
8	124	80	78	2	2 1	55	42,5	91	95	43,5	64	62
1 1	129	76,5	79	-2,5	32	6 2	34	85,5	90,5	42,5	61,5	55,5
9	153	82	84	-2	24	53	1, 1,	101,5	1.100	4 1	75	58
3	166	88.	87	1	21,5	52	46,5	96	91,5	39,5	73	61

Portanto, o uso desse modelo implica em afirmar que as mudanças de posição e de inclinação são iguais para o mesmo sexo, se jam os indivíduos normais ou mongolóides. Da mesma forma, estamos / pressupondo que as mudanças na posição e na inclinação são as mesmas para indivíduos mongolóides, de ambos os sexos.

Foi feita para cada variável, a análise de variância , obtendo-se o valor de F e, posteriormente, os coeficientes de variação e de déterminação. Tais resultados constam da Tabela V e VI.

Para todas as medidas cefalométricas, foram estimados os parâmetros do modelo estatístico e foi feito o teste t para cada estimativa.

Tabela V - Teste <u>F</u> (5,21) da regressão para as 11 variáveis estud<u>a</u> das.

Variāveis	F	` Significância
SNA	0,822	n.s.
SNB	3,415	5
ANB	3,318	5
FMA	3,849	5
L.Y.	5,194	1
Comp. max.	6,910	1
Comp. mand.	10,616	the season of th
N-Me	25,180	1
Go-Cd	3,970	5
Go-Gn	9,132	Spirite
S-N	12,897	1

Tabela VI - Coeficientes de variação e de determinação para as 11 variáveis estudadas.

Variāveis	Coefic. de variação (%)	Coefic.de determ.(%)
SNA	4,78	16,37
SNB	3,69	44,85
ANB	159,01	44,13
FMA	16,31	47,82
L.Y.	6,66	55,29
Comp. max.	6,89	62,19
Comp. Mand.	4,70	71,65
N-Me	4,03	85.70
Go-Cd	8,24	48,59
Go-Gn	5,31	68,49
S - N	4,62	75,43

As estimativas dos parâmetros do modelo estatístico e os respectivos valores de t para as medidas cefalometricas estudadas / constam da tabela VII à tabela XVII.

Tabela VII - Estimativas dos parâmetros para a variável SNA

Coef. de regressão	Estimativa do parâmetro	teste t	signif.(%)
bo	82,98	12,55	147
b ₁	-0,02	-0,43	n.s.
b ₂	-11,11	-1,38	n.s.
b ₃	-3,45	-0,45	n.s.
b ₄	0,09	1,60	n.s.
b ₅	0,02	0,38	n.s.

Coef. de regr	essão Estimativa do parâmet	ro teste t	signif.(%)
ь ₀	83,52	16,65	1
$, b_1$	-0,03	-1,08	ก.ร.
ь ₂	-20,19	-3,32	, ; ,
b ₃	1,97	0,34	n.s.
p ⁴	0,15	3,46	• • •
b ₅	0,00	0,01	n.s.

Tabela IX - Estimativas dos parâmetros para a variável ANB

Coef. de regressão	Estîmativa do parâmetro	teste t	signif. (%)
ь ₀	-0,53	-0,14	n.s.
b ₁	0,01	0,70	n.s.
b ₂	9,07	2,06	п.5.
b ₃	-5,43	-1,29	n.s.
ь ₄	-0,05	-1,86	n.s.
⁶ 5	0,02	0,69	n,s.

Tabela X - Estimativas dos parâmetros para a variável FMA

Coef. de	regressão	Estimativa do parâmetro	teste t	signif. (%)
b 0	, , , , , , , , , , , , , , , , , , ,	17,48	2,28	5
b ₁		0,08	1,58	n.s,
b ₂		22,03	2,37	. 5
b ₃		-14,78	-1,66	n.s.
b ₄		-0,17	-2,64	5
ь 5		0,08	1,38	n.s.

Tabela XI - Estimativas dos parâmetros para a variável L.Y.

Coef. de r	egressão	Estimativa do parâmetro	teste t	signif. (%)
4	······································	*		
_p 0	•	41,07	6,25	****
b 1		0,13	2,84	1
b 2		21,44	2,69	5
b 3.		-8,37	-1,10	n.s.
b <u>4</u>		-0,16	-2,84	1
b ₅		0,03	0,68	n.s.

Tabela XII - Estimativas dos parâmetros para a variável Comp.max.

Coef. de	regressão Estimativa do parâmetro	teste t	signif. (%)
_p 0	40,75	`7,67	1
p 1	0,05	1,44	n.s.
^b 2	56,45	-1,00	n.s.
^b 3	-6,99	-1,13	n.s.
ь _ц	0,04	0,89	n.s.
^b 5	0,00	0,20	n.s.

Tabela XIII - Estimativas dos parâmetros para a variável Comp.mand.

Coef. de regressão	Estimativa do parâmetro	teste t	signif. (%)
p 0	75,83	9,38	1
b ₁	0,21	3,80	. 1
ь ₂	3,53	0,36	n.s.
b ₃	-1,53	-0,16	n.s.
b ₄	-0,06	-0,95	n.s.
bs	-0,02	-0,40	n.s.

Tabela XIV - Estimativas dos parâmetros para a variável N-Me

Coef.	de	regressão	Estimativa do parâmetro	teste t	signif. (%)
	,				
	p 0		63,57	8,70	1
	b ₁		0,36	7,02	1
	b ₂		35,62	4,03	1
	b 3		5,83	0,69	n.s.
	b4	•	-0,32	-4,99	1
	b ₅		-0,10	-1,76	n.s.

Tabela XV - Estimativas dos parâmetros para a variável Go-Cd

Coef. de regressão	Estimativa do parâmetro	teste t	signif. (%)
- b ₀	37,24	5,49	. 1
ь ₁ .	0,10	2,12	5
ь ₂ .	9,59	1,16	n.s.
b ₃ .	-2,80	-0,35	n.s.
ь ₄	-0,09	-1,63	n.s.
ь _{'5}	-0,00	-0,07	n.s.

Tabela XVI - Estimativas dos parâmetros para a variável Go-Gn.

Coef.	de regressão	Estimativa do parâmetro	teste t	signif. (%)
Haracan to provide the second	ь 0	44,68	6,99	1
	b ₁	0,19	4,40	1
	6 2	-0,09	-0,01	n.s.
	b 3	5,87	0,79	n.s.
	b ₄	-0,00	-0,13	n.s.
	b ₅	-0,06	-1,12	n,s,

Tabela XVII - Estimativas dos parâmetros para a variável S-N.

			, ,,,,,,,,,,,,,,,,,,,,,,,,,,,,,,,,,,,,,
Coef. de regressão	Estimativa do parâmetro	teste t	signif. (%)
ь ₀	53,60	10,36	1
b ₁	0,12	3,35	1
ь 5	1,82	0,29	n.s.
b ₃ .	0,57	0,09	n.s.
b ₄	-0,03	-0,81	·n.s.
ь ₅	-0,05	-1,35	n.s.

CAPITULO VI

DISCUSSÃO

Os resultados, que constam da Tabela V, mostram que o modelo empregado se ajustou bem aos dados relativos às variáveis L.Y., Comp. Max., Comp. Mand., N-Me, Go-Gn, S-N, onde o valor de <u>F</u> foi significante ao nível de 1%. O modelo estatístico também se ajustou aos dados das variáveis SNB, ANB e FMA, e Go-Cd, onde o valor <u>F</u> foi significante ao nível de 5%. O valor <u>F</u> para a variável SNA não foi significante, o que permite afirmar que o modelo não se ajustou aos dados.

A variação explicada pelo modelo empregado é dada, percentualmente, pelo coeficiente de determinação.

Os resultados que constam na Tabela VI, mostram que nas variáveis L.Y., Comp. Max., Comp. Mand., N-Me, Go-Gn, S-N, mais de 50% da variação total são explicados pela regressão. Nas variáveis SNA, SNB, ANB, FMA, Go-Cd, o percentual de variação explicado pelo modelo se reduz.

Os valores dos coeficientes de variação, apresentados na Tabela VI, são muito baixos, com exceção do valor relativo a variável ANB. Portanto, exceção feita a essa variável, a precisão relativo das variáveis em análise é alta.

A seguir, analisaremos os resultados obtidos separadamente para cada variável. Para tanto, iremos recorrer sempre as Tabelas V e VI, bem como às Tabelas correspondentes aos coeficientes de regressão e aos respectivos valores <u>t</u> da variável que estiver sendo analisada.

1 - Variável SNA

Para as variáveis cefalométricas angulares, com exceção feita à L.Y., a variação dos dados não ficou adequadamente explicada pela regressão, uma vez que os coeficientes de determinação são baixos, especialmente no caso da variável SNA, onde constatamos que

a explicação da variação dos dados \hat{e} de apenas 16,37%. A precisão relativa estimada pelo coeficiente de variação \hat{e} alta (C.V.=4,78%). O teste \underline{F} não foi significante para a medida em questão.

Pela observação da Tabela VII, verificamos que o valor de té significante apenas para o coeficiente b₀. Portanto, pode -se afirmar que, no período estudado, não houve uma modificação estatisticamente significante no valor da medida SNA em nenhum dos grupos. Entretanto, o coeficiente angular relativo ao sexo feminino (b₄) é positivo, indicando discreta taxa de crescimento da medida para esse sexo, porém não significante estatisticamente. Na Figura 1, mostramos as retas de regressão obtidas pelo emprego do modelo.



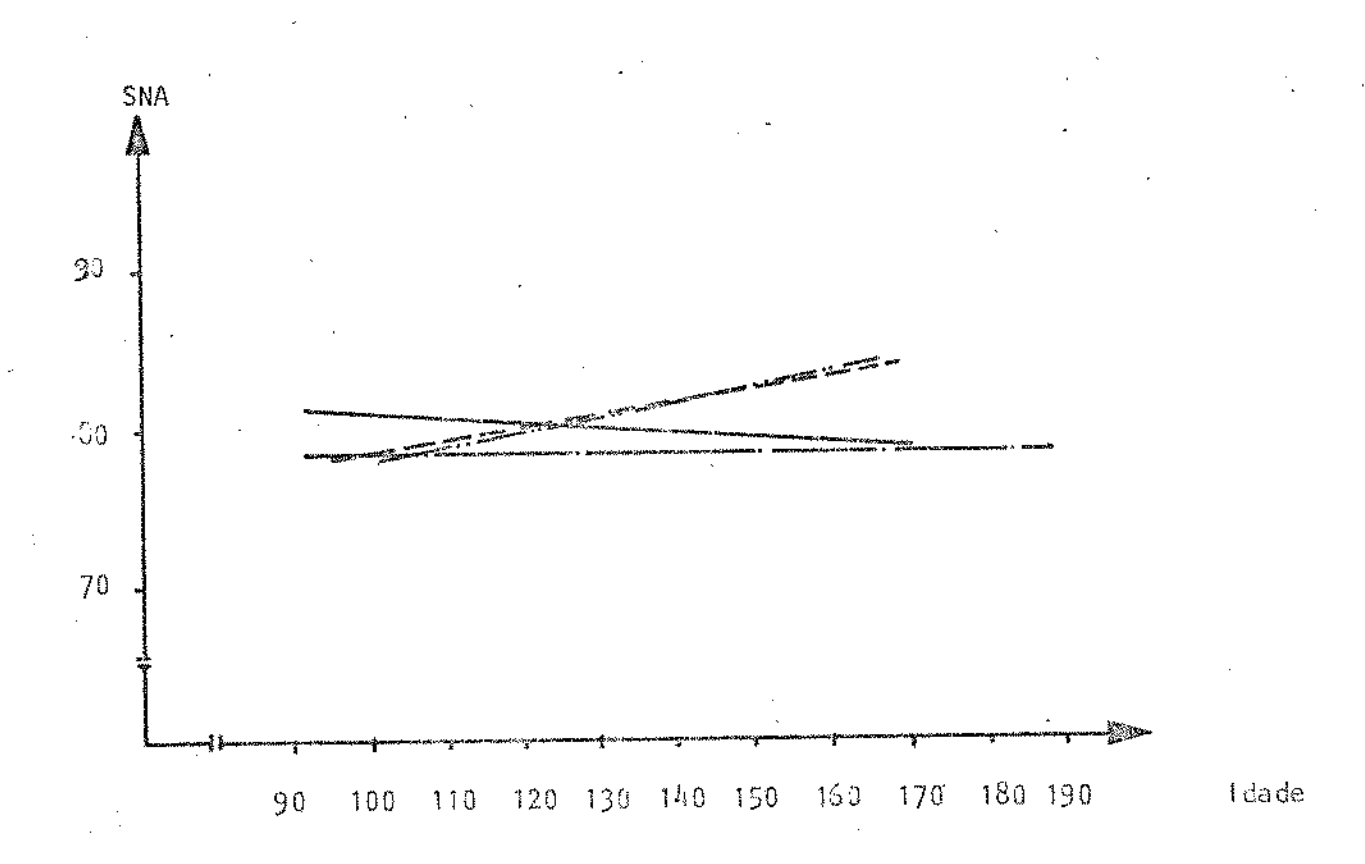


Figura 1 - Retas de regressão, relativas à variável SNA, para cada grupo e para cada sexo.

2 - Variável SNB

Para essa variavel, o coeficiente de determinação indica que, da variação total, 44,85% são explicados pela regressão. O valor do coeficiente de variação é de 3,69%, indicando boa precisão / relativa. O teste \underline{F} foi significante ao nível de 5%.

Consultando a Tabela VIII, verificamos que b_0 , b_2 e b_4 são significantes ao nível de 1%. Portanto, podemos afirmar que os valores da variável são mais baixas para o sexo feminino(b_2), mas que a taxa de crescimento (b_4) é maior para a variável no sexo feminino. Para o grupo-teste, não houve alteração na taxa de crescimento da variável. Na Figura 2, apresentamos as retas de regressão correspondentes à variável em questão.



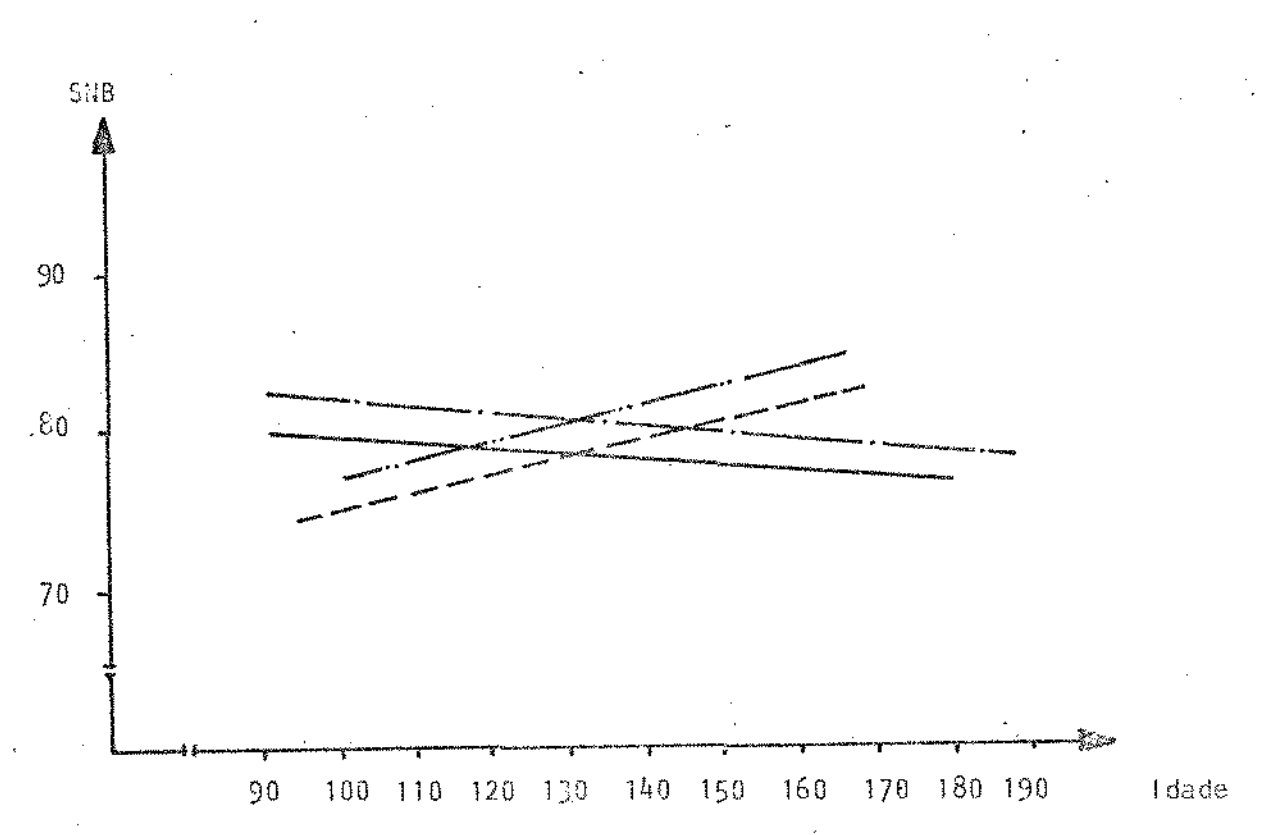


Figura 2 - Retas de regressão, relativas à variável SNB, para cada grupo e para cada sexo.

3 - Variável ANB

O coeficiente de determinação para essa variável foi de '44,13%, mostrando que, da variação total, apenas esse percentual fica explicado pela regressão. A imprecisão relativa é muito alta, e significante ao nível de 5%. Esse resultado «sugere que a variação da variável em questão, deve ser explicada por outras variáveis não incluídas no modelo. Na Figura 3, apresentamos as retas obtidas pelo modelo que correspondem à variável em discussão.

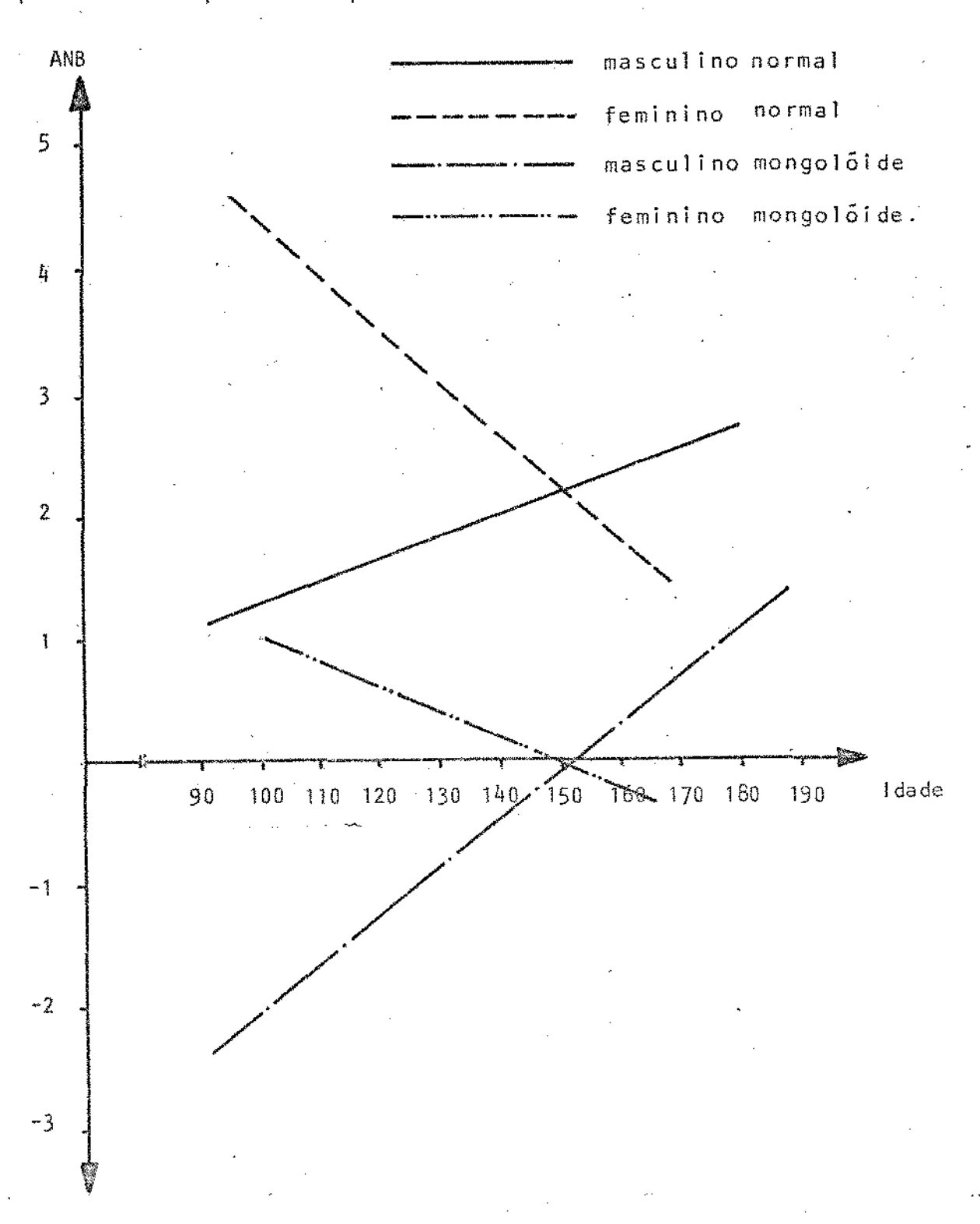
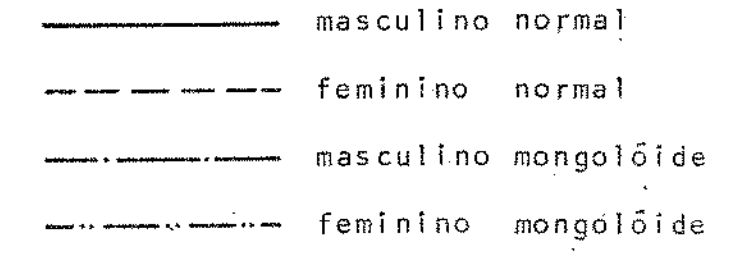


Figura 3 - Retas de regressão, relativas a variavel ANB, para cada grupo e para cada sexo.

4 - Variavel FMA

O coeficiente de determinação indica que, da variação to tal, 47,82% são explicados pela regressão. O coeficiente de variação foi da ordem de 16,31%.

Do exposto na Tabela X, verificamos que b_2 e b_4 (esse \tilde{u}_1 timo negativo), são significantes ao nível de 5 %. Isso nos permite afirmar que a variável FMA diminui significativamente para o sexo / feminino. Apresentamos, na Figura 4, as retas de regressão correspondentes à essa variável para ambos os grupos.



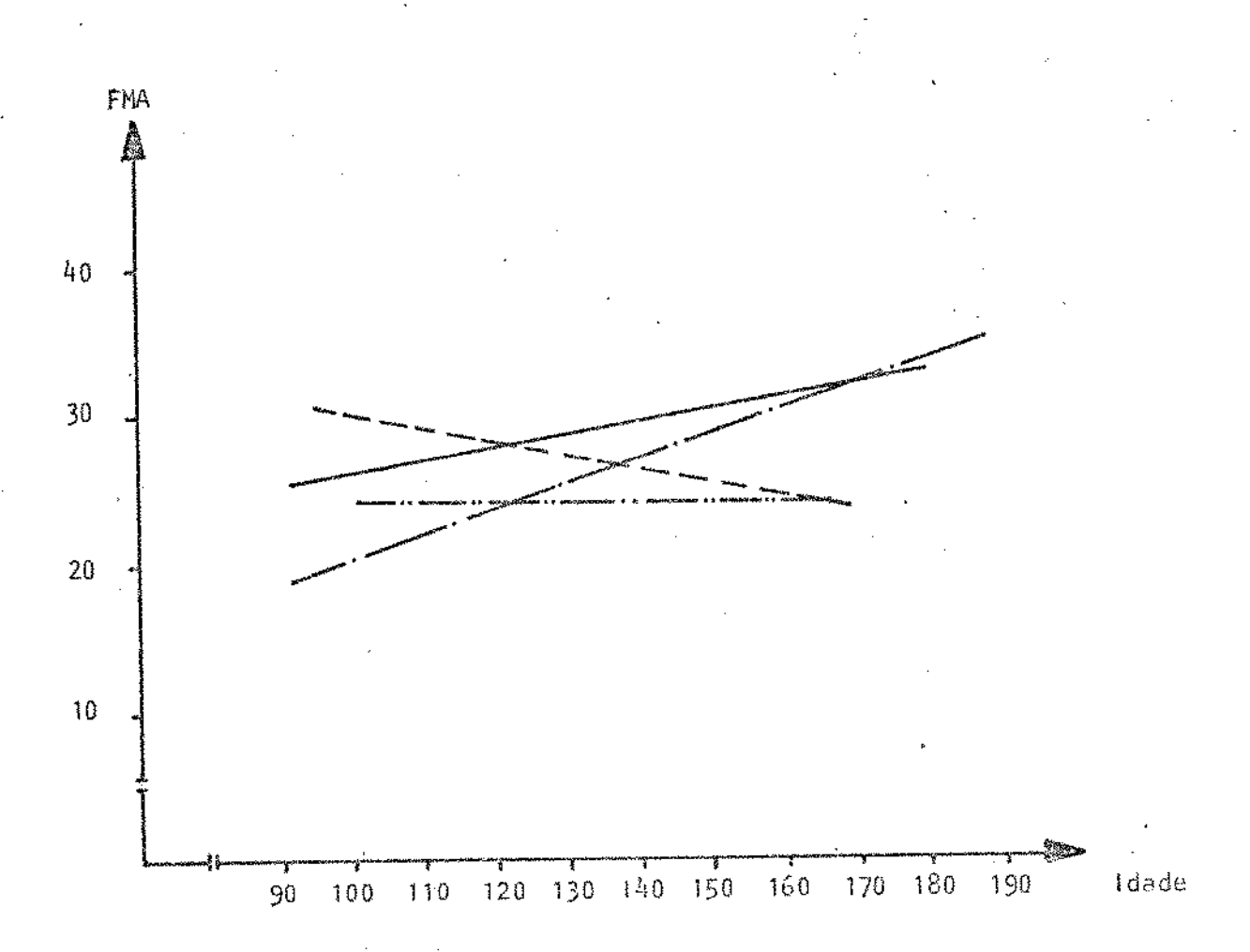


Figura 4 - Retas de regressão, relativas à variável FMA, para cada grupo e para cada sexo.

SIBLIOTERA (ENTRAL

5 - Variável L.Y.

Para a variavel L.Y., o coeficiente de determinação explicou 55,29% da variação total, O coeficiente de variação (6,66%) in dica boa precisão relativa. \underline{F} foi significante ao nível de 1%, mostrando que o modelo empregado se ajustou bem aos dados.

Na Tabela XI, verificamos que os valores de t para os coeficientes b₀, b₁ e b₄ são significantes ao nível de 1%, podendo-se afirmar que essa medida apresentou um aumento significante para os indivíduos do sexo masculino e uma diminulção também significante para o sexo feminino. Para o grupo-teste, a taxa de aumento se mostrou discretamente maior. Na Figura 5, mostramos as retas de regressão.

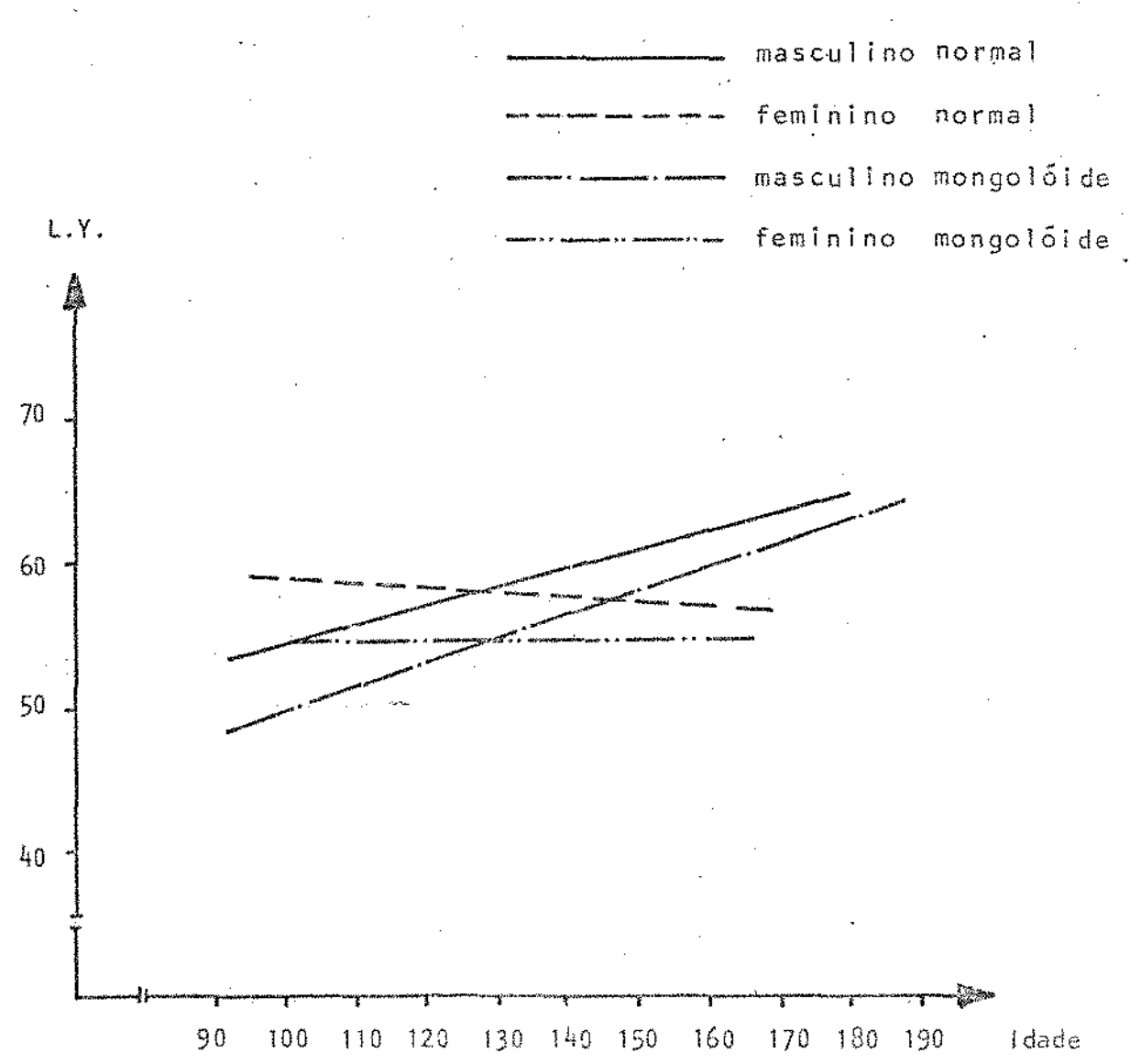


Figura 5 - Retas de regressão, relativas à variável L.Y., para cada grupo e para cada sexo.

6 - Variável Comprimento da Maxila

O coeficiente de determinação foi de 62,19%, mostrando / que, da variação total, esse percentual fica explicado pela regressão. O coeficiente de variação foi baixo e igual a 6,89%. O \underline{F} foi significante ao nível de 1%, mostrando que para essa variavel o modelo se ajustou bem aos dados.

Os coeficientes lineares e angulares, referentes à essa variavel, constam da Tabela XII. Observando esses resultados, consta tamos que para o grupo-teste, a taxa de crescimento não mostrou al teração, quando companada com o grupo-controle. Na Figura 6, mostra mos as retas de regressão.

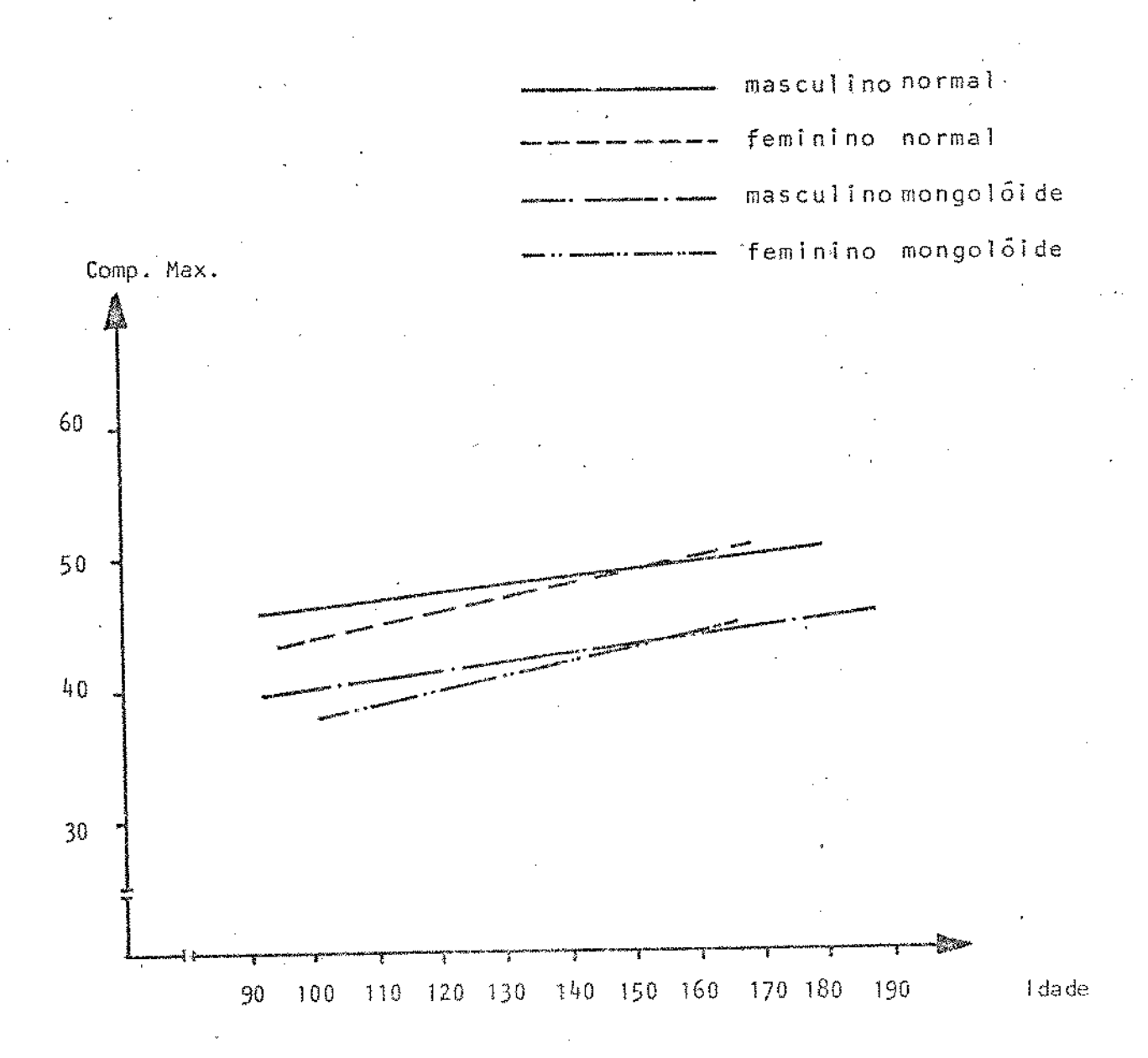


Figura 6 - Retas de regressão, relativas à variável Comprimento da Maxila, para cada grupo e para cada sexo.

7 - Variável Comprimento da Mandíbula

Da variação total, 71,65% ficam explicados pela regressão através do coeficiente de determinação. O coeficiente de variação / foi baixo (4,70%), indicando boa precisão relativa. O valor de <u>F</u> (10,616) foi significante ao nível de 1%, explicando bom ajuste do modelo aos dados.

Consultando a Tabela XIII, vemos que b_1 é significante / ao nível de 1%, indicando que a taxa de crescimento da mandibula foi significante para ambos os grupos. Porem, para o sexo feminino, e para o grupo-teste, as taxas de crescimento se mostraram mais bai xas, isso em função dos valores assumidos por b_4 e b_5 respectivamente. Na Figura 7, temos as retas de regressão correspondentes à variável em questão.

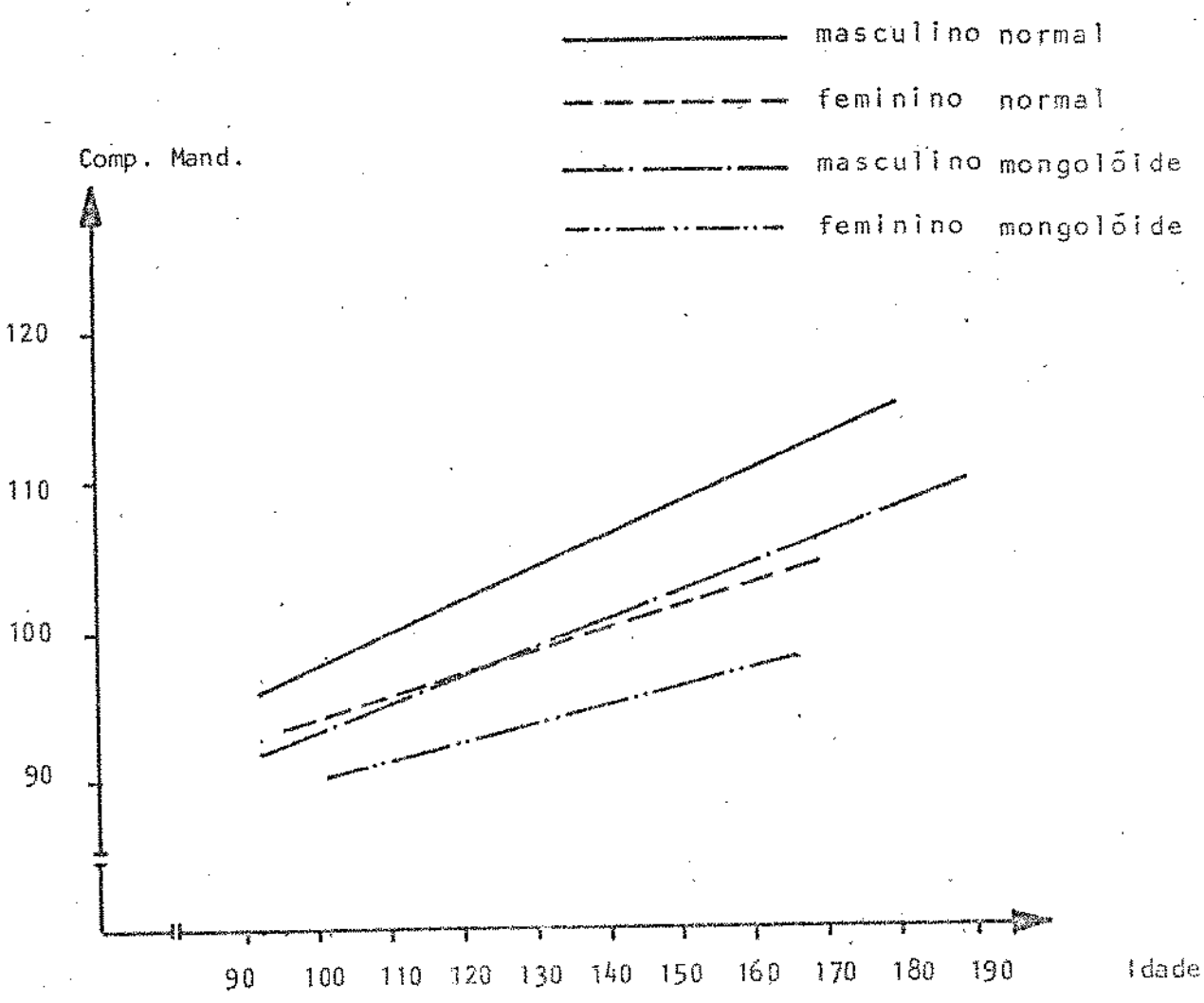


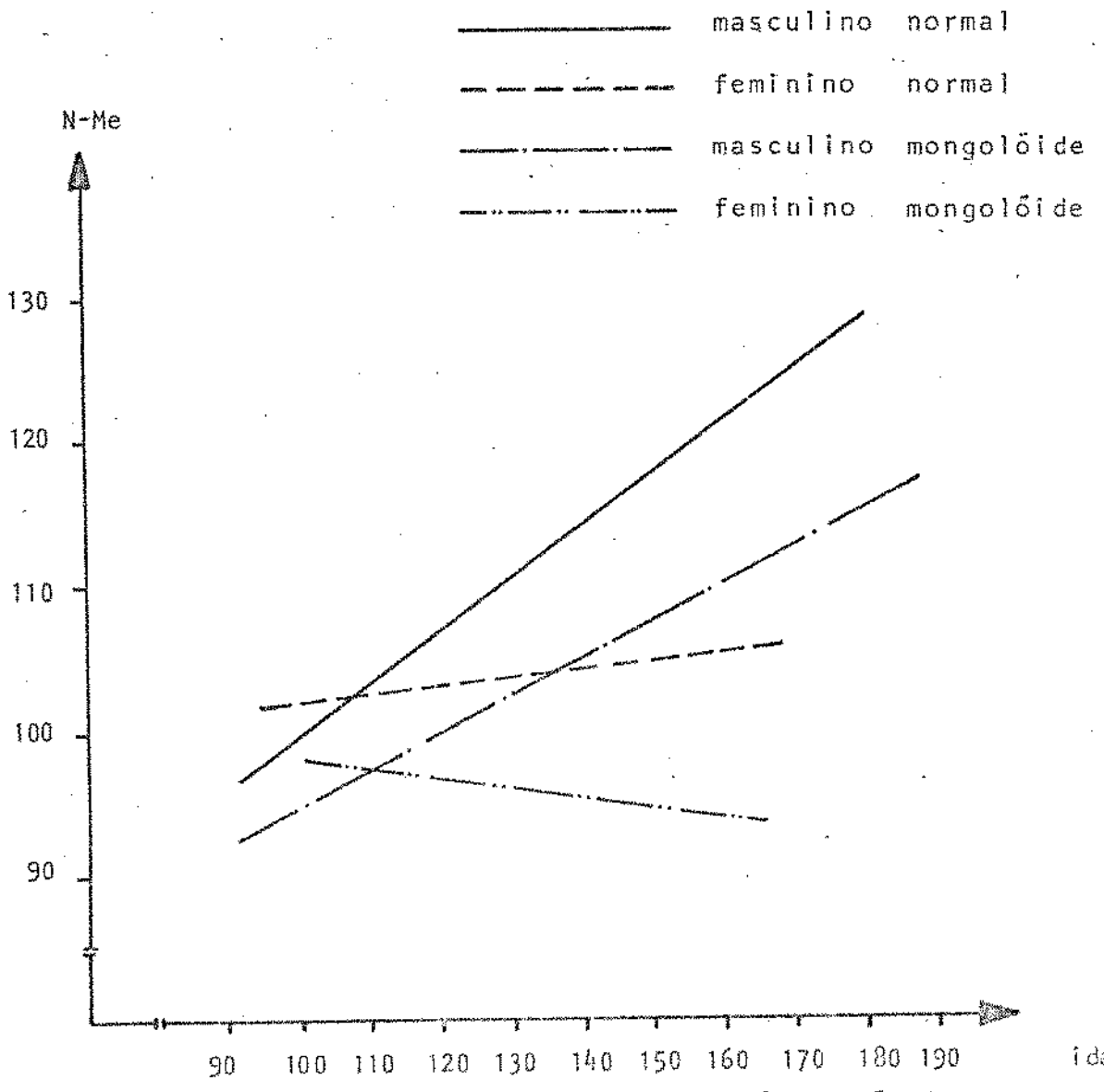
Figura 7 - Retas de regressão, relativas à variável Comprimento da Mandíbula, para cada grupo e para cada sexo.

8 - Variāvel N-Me

Foi para a variável correspondente à altura total da face que o modelo se adaptou mais adequadamente; o coeficiente de de terminação foi de 85,70% e o coeficiente de variação foi de 4,03%, indicando boa precisão relativa. Foi para essa variável que F assumiu o maior valor de toda análise (25,180), significante ao nível de 1%.

Na Tabela XIV, apresentamos os coeficientes da regressão, bem como os respectivos valores de t. Esses valores nos permitem / afirmar que houve uma taxa de crescimento significante (1%) para todos os indivíduos (b₁).

Entretanto, para o sexo feminino, a taxa de crescimento foi significativamente mais baixa ao nível de 1%. Na Figura 8, apresentamos as retas de regressão correspondentes â essa variável.



90 100 110 120 130 140 150 160 170 180 190 idade Figura 8 - Retas de regressão, relativas à variável N-Me, para cada grupo e para cada sexo.

9 - Variavel Go-Cd

O coeficiente de determinação para essa variável foi igual a 48,59% e o de variação 8,24%. O valor de <u>F</u> foi significante ao nível de 5%. Através da Tabela XV, podemos afirmar que tal variá vel apresentou uma taxa de crescimento significante ao nível de 5%. Para o grupo-teste, não houve diferença em relação ao grupo-controle. Na Figura 9, temos as retas de regressão.



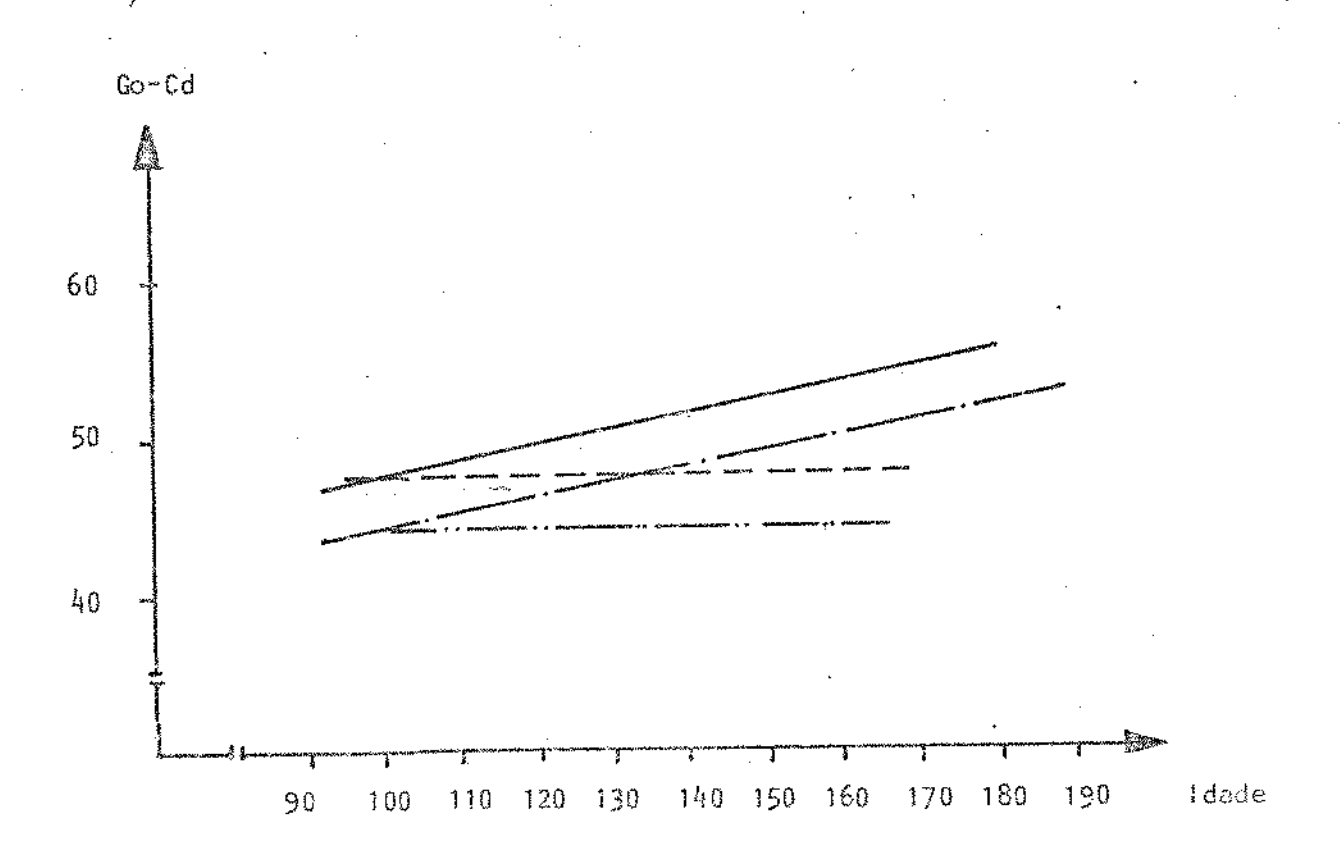


Figura 9 + Retas de regressão, relativas à variável Go-Cd, para cada grupo e para cada sexo.

10 - Variável Go-Gn

Para essa variável o coeficiente de determinação foi da ordem de 68,49%. O coeficiente de variação foi igual a 5,31%. O valor de <u>F</u> foi de 9,132, significante ao nível de 1%.

Na Tabela XVI, encontram-se, os coeficientes da regressão correspondentes à essa variável, o que nos permite afirmar que hou ve uma taxa de crescimento significante ao nível de 1%, expressa / por b₁. Entretanto, esta taxa foi particularmente menor para os mongolóides. Na Figura 10, apresentamos as retas de regressão.

masculino normal
feminino normal
masculino mongolóide
feminino mongolóide

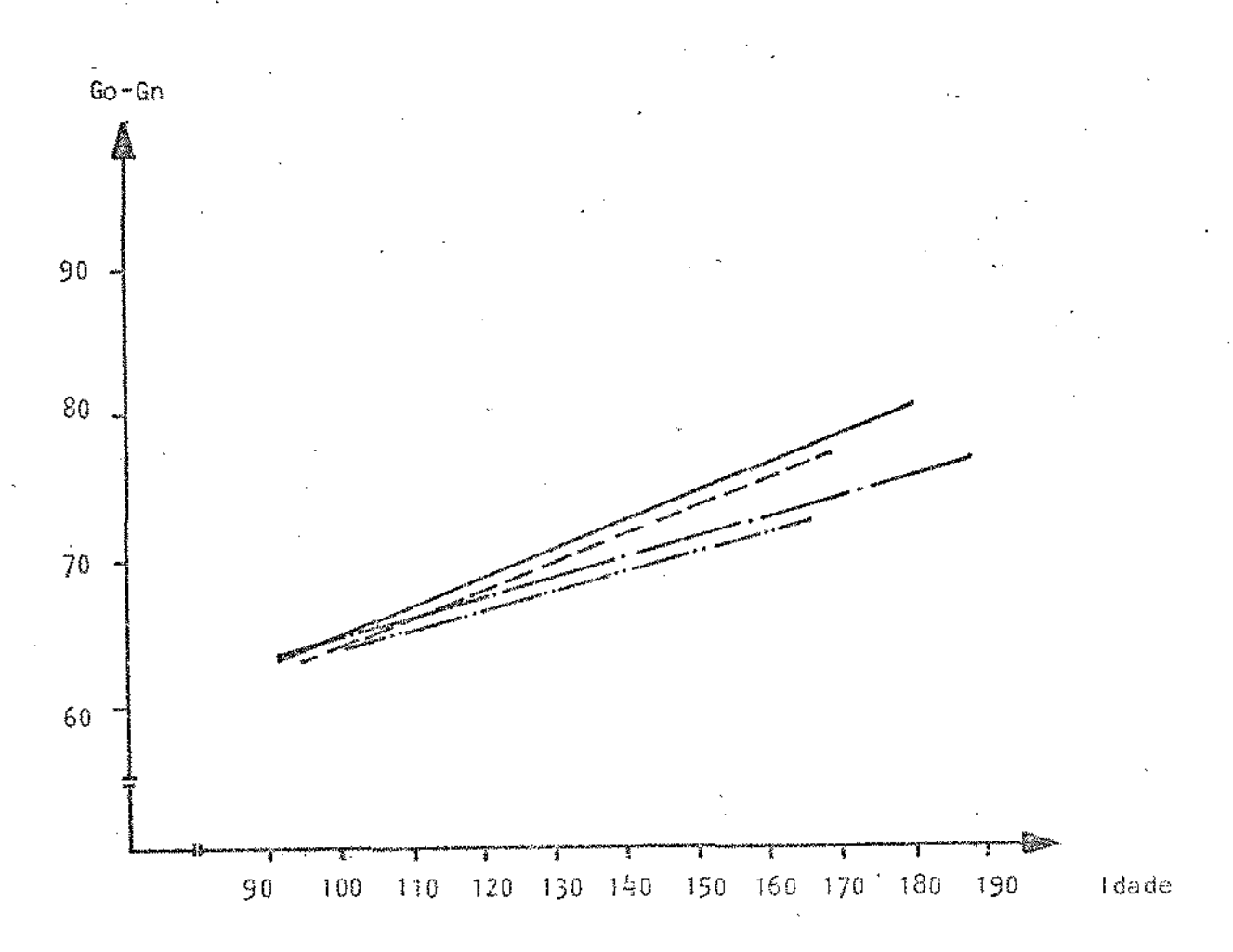
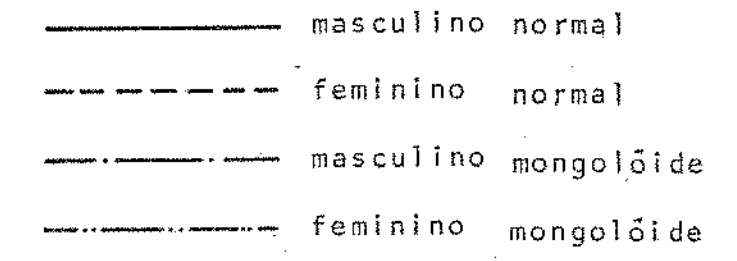


Figura 10 - Retas de regressão, relativas à variável Go-Gn, para cada grupo e para cada sexo.

11 - Variavel S-N

O coeficiente de determinação para essa variável foi da ordem de 75,43% e o de variação de 4,62%. O teste \underline{F} apresentou um valor de 12,897 e significante ao nível de 1%.

Através do valor de b₁, podemos afirmar que essa variável apresentou uma taxa de crescimento significante ao nível de 1% no período. Entretanto, não significantes aos níveis estudados para o sexo feminino e para o grupo-teste, essas taxas apresentaram-se / mais baixas. Na Figura 11, apresentamos as retas de regressão.



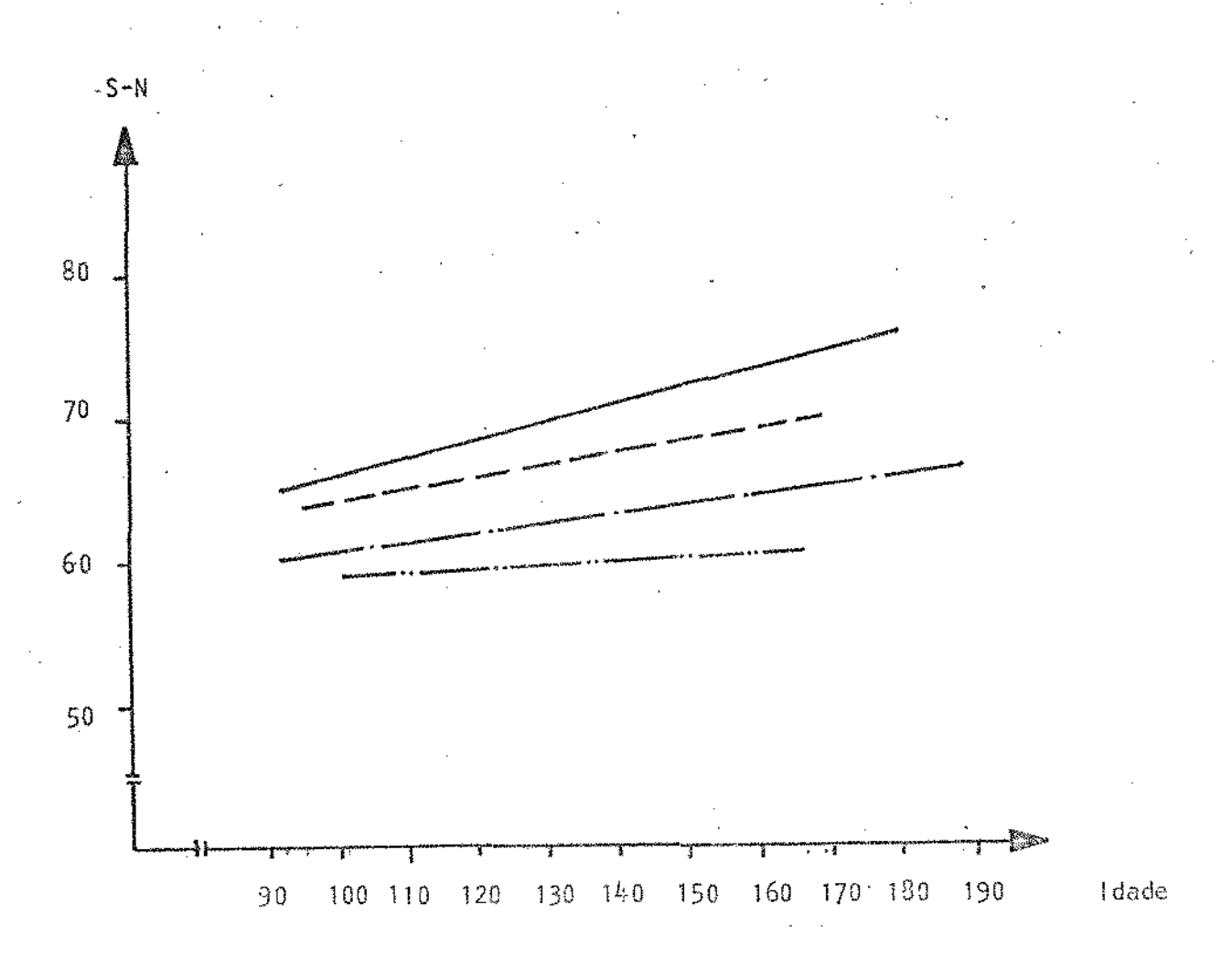


Figura 11 - Retas de regressão, relativas à variável S-N, para cada grupo e para cada sexo.

ROCHE & colaboradores 34 notaram que tanto a maxila como a mandíbula eram deficientes antero-posteriormente em indivíduos / portadores da Síndrome de Down. Verificando nossos resultados, podemos notar que os valores assumidos por estas variáveis se mostram menores para esses indivíduos, assim como as taxas de crescimento / encontradas para as mesmas variáveis se apresentam mais baixas.

Verificação semelhante com relação ao desenvolvimento ma xilar foi feita por RUSSEL 40 que também constatou um subdesenvolvimento maxilar em mongolóides.

KANAR²⁵ concluiu que o corpo e o ramo da mandíbula não se mostraram diferentes significantemente entre uma amostra composta por indivíduos normais e outra constituída por indivíduos portadores da Sindrome de Down, o que reforça nossos resultados correspondentes a tais variáveis.

BEIGUELMAN⁶ assinala, entre várias características da Síndrome de Down, o aspecto hipoplásico da maxila.

Para a variável S-N (base anterior do crânio), nossos resultados mostraram valores menores para os indivíduos portadores da Síndrome de Down. BENDA observou que esses indivíduos apresentavam uma diminuição da base craniana.

Tomando dimensões cefalométricas lineares, ROCHE e colaboradores 38 encontraram valores menores para as medidas Násio-Básio, Sela-Básio e particularmente para Sela-Násio em indivíduos portado res da Síndrome de Down, quando comparados com indivíduos normais.

Com relação à altura total da face, GOSMAN 19 observou / que era consideravelmente menor em indivíduos mongolóides quando / comparados a indivíduos normais.

Estudando a área endocranial, área da face média e área mandibular em indivíduos portadores da Síndrome de Down e em indi<u>v</u>í duos normais, FINK e colaboradores 15 encontraram as três áreas estud<u>a</u> das significantemente menores no grupo portador de tal Síndrome.

Parece, realmente, que os autores, que se preocuparam em estudar aspectos crânio-faciais na Sindrome de Down, constataram em grande parte o hipodesenvolvimento de certas estruturas, que estão sob o controle poligênico defendido por HARRIS²².

LEJEUNE e colaboradores foram os primeiros a relatar / que a Síndrome, em questão, estava associada à trissomia do cromos somo 21.

Então, no caso da trissomia 21, ocorre um excedente de material genético que pode desarranjar o modelo poligênico normal e causar distúrbios de crescimento localizado ou generalizado, o que é sugerido por FROSTAD e colaboradores 17.

^{*} Apud FROSTAD, W.A. Et alli - Craniofacial Complex in the trisomy 21 syndrome (Down's Syndrome). Archs

Oral Biol., 16: 707-722, 1971.

CAPITULO VII

CONCLUSÕES

Pelos mesultados obtidos a partir dos dados — rebativos ās amostras estudadas, concluímos que:

- 1 Os valores correspondentes às taxas de crescimento, obtidos para todas as variáveis lineares, foram menores no grupo de indivíduos portadores da Síndrome de Down, porém não significativamente.
- 2 Para os valores SNB; FMA; L.Y.; N-ME; o fator sexo influiu significativamente nas taxas de crescimento.

CAPITULO VIII

REFERÊNCIAS BIBLIOGRÁFICAS (*)

- '1 ANGLE, E. H. Malocclusion of the teeth. 7. ed. Philadelphia, S.S. White Dental Manufacturing., 1907.
 - 2 ARAUJO, M.C.M. <u>Contribuição ao estudo dos desvios ântero-poste</u> <u>riores da mandíbula através das radiografias Cefalométricas.</u> (<u>Nos casos de Classe I e Classe II</u>). Piracicaba, 1964. 67p. (Tese (Livre Docência) - Faculdade de Odontologia).
 - 3 :- Contribuição para a análise cefalométrica radiográfica dos critérios da classificação de Angle (Nos casos de Classe le Classe II, divisão 1). Piracicaba, 1967-123p.
- 4 ARDRAN, G.M.; HARKER, P.; KEMP, F.H. Tongue size in Down's Syndrome. J.Ment. Defic.Res., 16: 160-166, 1.972.
- 5 BAER, P.; COCCARO, P.J.; BAER, M.J.; KILHAM, L.
 Craniofacial manifestations of virus induced mongolism in the hamster and Down's Syndrome in man. Am. J. Orthod., 60

 (3): 221-34, Sept. 1971.
- 6 BEIGUELMAN, B. <u>Genética Médica</u>. vol. 1. São Paulo, Ed. da Un<u>i</u> versidade de São Paulo, 1974.
- (*) Conforme o PNB-1970 da Associação Brasileira de Normas Técnicas. Abreviaturas dos títulos de periódicos, segundo o World List of Scientific Periodicals. 4. ed. London, Butterworths, 1963. 3v.

. 1/2

- 7 BENDA, C.E. Observations on the malformation of the head in mongoloid deficiency. <u>J. Pediatrics.</u>, <u>19</u>: 800-16, Dec. 1941.
- 8 BLEYER, A. Indications that mongoloid imbecility is a genetic mutation of degressive type. Am. J. Dis. Child., 47: 342-50, 1934.
- 9 BROADBENT, H.B. A new X ray technique and its application to Orthodontia. Angle Orthod., 1 (2): 45-66, Apr. 1931.
 - 10 COHEN, M.M. & WINER, R.A. Dental and Facial characteristics
 In Down's Syndrome. <u>J. Dent. Res.</u>, <u>Supplement to Nº 1</u>, <u>44</u>:
 197-208, 1965.
 - 11 COHEN, M.M.; ARVYSTAS, M.G.; BAUM, B.J. Occlusal disharmonies in trisomy G (Down's Syndrome, Mongolism).

 Am. J. Orthod., 58 (4): 367-72, Oct. 1970.
 - 12 DOWN, J. L. H. Observations on an ethnic classification of idiots. Clinical Lecture Reports., London Hospital, 3: 259, 1866.
 - 13 DOWNS, W.B. Variations in facial relationships: their significance in treatment and prognosis. Am. J. Orthod., 34 (10): 812-40, Oct. 1948.
 - 14 ENLOW, D. H. A morphogenetic analysis of facial growth.

 Am. J. Orthod., 52 (4): 283-99, Apr. 1966.
 - 15 FINK, G.B.; MADAUS, W. K.; WALKER, C.F. A quantitative study of the face in Down's syndrome. Am. J. Orthod.,

 67 (5): 540-53, May 1975.
 - 16 FRIEDMAN, G. L. Radiologic manifestations of mongolism.

 J. Am. Osteopath. Assoc., 72: 619-27, Feb. 1973.

- 17 FROSTAD, W. A.; CLEALL, J. F.; MELOSKY, L. C.
 Craniofacial complex in the trisomy 21 syndrome (Down's

 Syndrome). Archs Oral Biol., 16: 707-22, 1971.
- 18 GERALD, B.E. & SILVERMAN, F.N. Normal and abnormal interorbital distances, with special reference to mongolism.

 Am. J. Roentgenol., 95 (1): 154-161. Sept. 1965.
- 19 GOSMAN, S.D. Facial development in mongolism. Am. J. Orthod., 37: 332-49, 1951.
- 20 GULLIKSON, J. S. Oral findings in children with Down's syndrome. <u>J. of Dentistry for Children</u>., <u>40</u>: 293-97, Aug. 1973.
- 21 HALL, B.B. & RINGERTZ, H. Variability in mongolism a comparison of the hand skeleton in mongoloids and normals.

 Clin. Genetics., 3: 452-57, 1972.
- 22 HARRIS, J. E. Genetic Factors in the Growth of the head,

 (Inheritance of the craniofacial complex and malocclusion).

 Dental Clinics of North America., 19 (1): 151-160, Jan.1975.
- 23 HOFFER, O. Statment on facial analysis in cephalograms.

 Apud SALZMANN, J. A. Roentgenographic cephalometrics

 proceedings of the second research workshop conducted by the special comitee of the American Association of Orthodontists.

 Philadelphia, Lippincot, 1961. p. 161.
- 24 JENSEN, G. M.; CLEALL, J. F.; YIP, G.S.A. Dentoalveolar morphology and developmental changes in Down's syndrome (trisomy 21). Am. J. Orthod., 64 (6): 607-618, Dec. 1973.

- 25 KANAR, H. L. The morphology of the mandible in Down's syndrome. Ann Arbor, Michigan, 1971, 96p. (Master's thesis University of Michigan.)
- 26 KROGMAN, W. M. & SASSOUNI, V. <u>A syllabus in roentgenographic</u> cephalometry. Philadelphia, Library of Congress, 1957.366p.
- 27 KUSHNICK, T. Mongolism Recent studies and development.

 Q. Rev. Pediatr., 16: 150-59. 1961.
- 28 MICHEJDA, M. & MENOLASCINO, F. Skull base abnormalities in Down's Syndrome. Ment. Retard., 13 (1): 24-26. Feb. 1975.
- 29 PALATTELLA, P. Osservazioni su alcuni casi di mongolismo, con particolare riferimento alla diagnosi ortodontica ed alla difficoltà nella attuazione delle normali metodiche terapeutiche. Riv. Tal. Stomat., 25 (4): 294-323. 1970.
- 30 POZSONYI, J.; GIBSON, D.; ZARFAS, D.E. Skeletal maturation in mongolism. (Down's syndrome). <u>J. Pediatr.</u>, <u>64</u> (1): 75-78, Jan. 1964.
- 31 PRATES, N. S. Crescimento Cranio Facial e Maturação óssea .

 (Estudo em crianças nascidas em Piracicaba, portadoras de oclusão dentária normal). Piracicaba, 1976.

 107p.(Tese (Doutoramento) Faculdade de Odontologia da UNICAMP.).
- 32 RAPAPORT, I. Oligophrénie mongolienne et caries dentaires.

 Revue de Stomatologie., Paris, 46 (4/5):207-218, 1963.
- 33 RIEDEL, R. A. The relation of maxillary structures to cranium in malocclusion and in normal occlusion.

 Angle Orthod., 22 (3): 142-5, July 1952.

- 34 ROCHE, A. F.; SEWARD, F.S.; SUNDERLAND, S. Growth changes in the mongoloid head. Acta Pediatrica., 50:133-140, Mar. 1961.
- 35 ROCHE, A. F.; SEWARD, F.S.; SUNDERLAND, S. Nonmetrical observation on cranial roentgenograms in mongolism.
 Amer. J. Roentgenol., 85 (4): 659-62, April 1961.
- 36 ROCHE, A.F. Skeletal maturation rates in mongolism.

 Am. J. Roentgenol., 91 (5): 979-87, May 1964.
- 37 ROCHE, A. F. The stature of mongols. <u>J. Ment. Defic.Res.</u>, 9: 131-145, Jun. 1965.
- 38 ROCHE, A. F.; ROCHE, P. J.; LEWIS, A. B. The cranial base in trisomy 21. <u>J. Ment. Defic. Res.</u>, <u>16</u> : 7-20, Mar.1972.
- 39 RODRIGUES, O. Comportamento de algumas medidas cefalométri

 cas em crianças de Piracicaba, Piracicaba, 1975. 155p. (Tese

 (Mestrado) Faculdade de Odontologia da UNICAMP).
- 40 RUSSEL, B.G. Down's Syndrome A review and a discussion of the problems odontofacial treatment. <u>Tandlaegebladet</u>., <u>73</u>: 21-34. Jan. 1969.
- 41 SEWARD, F.S.; ROCHE, A.F.; SUNDERLAND, S. The lateral cranial silhouette in mongolism. Am. J. Roentgenology., 85 (4): 653-58. Apr. 1961.
- 42 SMITH, D.W. <u>Recognizable patterns of human malformation</u>.

 Second Edition, Chapter one, W. B. Saunders Company, 1976.
- 43 SPITZER, R.; ROBINSON, M. J. Radiological changes in teeth and skull of mental defectives. Brit. J. Radiol., 28 (327): 117-127, 1955.

- 44 SPITZER, R.; RABINOWITCH, J.Y.; WYBAR, K.C. A study of the abnormalities of the skull, teeth and lenses in mongolism.

 Can. Med. Assoc., 84 (11): 567-72, Mar. 1961.
- 45 SPITZER, R. Observations on congenital dentofacial disorders in Mongolism and microcephaly. <u>O.S.</u>, <u>O.M.</u> ε <u>O.P.</u> <u>24</u> (3): 325-32, Sept. 1967.
- 46 STEINER, C.C. Cephalometrics for you and me. Am. J. Orthod., 39 (10): 729-55, Oct. 1953.
- 47 TANNENBAUM, K.A. The oral aspects of mongolism. <u>J. Public</u>

 Health Dentistry., <u>35</u> (2): 95-108, Spring 1975.
- 48 TONI, G. de L'accrescimento somatico dei mongoloidi:

 Minerva Pediatrica., 25 (1): 1-5, Jan. 1973.
- 49 TWEED, C.H. The Frankfort-mandibular plane angle in orthodontic diagnosis, classification, treatment planning, and prognosis. Am. J. Orthod., 32 (4): 175-230, Apr. 1946.
- Angle Orthod., 17 (3/4): 97-109, July/Oct. 1947.
- 51 WYLIE, J. L. & JOHNSON, E. Rapid evaluation of facial dysplasia in the vertical plane. <u>Angle Orthod.</u>, <u>22</u> (3): 165-81, Mar. 1952.

RESUMO

Este trabalho consiste em um estudo cefalométrico radiológico com o objetivo de se avallar as eventuais diferenças das taxas de crescimento crânio-facial entre dois grupos de indivíduos: um constituído por indivíduos portadores da Sindrome de Down (grupo-teste). e outro constituído por indivíduos normais (grupo-controle).

O grupo-teste era composto de 13 indivíduos, sendo 7 do sexo masculino e 6 do sexo feminino, e o grupo-controle constituído por 14 indivíduos, sendo 7 indivíduos de cada sexo, e a faixa etária do grupo-teste similar a do grupo-controle.

Para cada indivíduo foi tomada uma telerradiografía em norma lateral e em oclusão cêntrica, sobre a qual traçamos um cefalograma, a partir do qual obtivemos as medidas cefalométricas (tanto lineares como angulares) estudadas.

Aplicou-se aos dados a análise de regressão com variáveis binárias. Determinaram-se os parâmetros angulares e lineares cuja significância foi testada pelo teste "t".

Pelos resultados obtidos, pudemos comparar as possíveis diferenças entre as taxas de crescimento das variáveis em análise segundo o sexo ou segundo a presença ou ausência da Síndrome de Down.

Desejamos ressaltar que as variações nas taxas de crescimento correspondentes às variáveis angulares, representam uma modificação da variável em si, cuja interpretação necessita de suficiente critério, uma vez que as variáveis angulares são determinadas por mais de uma estrutura anatômica.

Através dos resultados obtidos das amostras estudadas, verificamos que os valores correspondentes às taxas de crescimento, obtidos para todas as variáveis lineares, foram menores no grupo-teste, porém não significativamente. Por outro lado, para os valores SNB, FMA, L.Y. N-Me, o fator sexo influiu significativamente nas taxas de crescimento.

This Work consists of a cephalometric and radiological study with the aim of estimating the fortuitons differences of cranio - facial growth rates between two groups of individuals: one of them composed by individual with Down's Syndrome (test-group) and another composed by normal individuals (control group).

The test-group was composed by 13 individuals, seven of them of masculine sex and six of them of feminine sex, and the control-group composed by 14 individuals, seven of each sex, and the age-grade of the test-group similar to the control-group.

For each individual, one teleradiograph in lateral way and in center occlusion was taken, and on this teleradiograph we trace one cephalogram, and from this we got (both linear an angular) cephalometric measurements studied.

The analysis of regression with binary variables was applied to these data. The angular and linear parameters were determined and their significance was tested by test ut^{ij} .

Considering the results, we could compare the possible differences among the growth rates of variables in analysis according to the sex or to the presence or absence of Down's Syndrome.

We wish to point out that the variations of the growth rates correspondent to the angular variables stand for a modification of the own variable, whose interpretation needs an enough criterium, considering the fact that angular variables are determined by more than one anatomical struture.

Through the results of the studied samples, we check the values, correspondent to the growth rates applied to all the linear variables, were smaller in the test-group, but not significantly. On the other hand, for the values SNB, FMA, L.Y., N-Me, the factor sex influences significantly on the growth rates.